



**CNA
PPC**

CONSIGLIO NAZIONALE
DEGLI ARCHITETTI
PIANIFICATORI
PAESAGGISTI
E CONSERVATORI



**COMUNE
DI CARPI**

ACERMODENA
AZIENDA CASA EMILIA ROMAGNA
DELLA PROVINCIA DI MODENA

**RIQUALIFICAZIONE EDILIZIA DEL
COMPLESSO IMMOBILIARE**

IL BISCIONE

**CONCORSO DI PROGETTAZIONE A PROCEDURA APERTA IN
DUE GRADI PER LA RIGENERAZIONE URBANA E LA
RIQUALIFICAZIONE EDILIZIA
DEL
COMPLESSO IMMOBILIARE
IL BISCIONE A CARPI (MO)**

ACER - Azienda Casa ER della
provincia di Modena
Viale Enrico Cialdini, 5, 41123 Modena

Comune di Carpi
Assessorato Urbanistica- Edilizia
privata- Ricostruzione- Ambiente-
Mobilità - Smart city

06

RELAZIONE GEOLOGICA

COMUNE DI CARPI

PROVINCIA DI MODENA

RELAZIONE GEOLOGICA

inerente alla caratterizzazione e modellazione geologica del sito (6.2.1 NTC 2018);

RELAZIONE GEOTECNICA

Relativa alle indagini, alla caratterizzazione e alla modellazione geotecnica a supporto della progettazione strutturale (6.2.2. NTC 2018) nonché relativa alla verifica delle opere di fondazione (6.4. NTC 2018);

RELAZIONE SULLA MODELLAZIONE SISMICA

Relativa alla "pericolosità sismica di base" del sito di costruzione (NTC 2018, DGR RER 1373/2011).



OGGETTO

**Caratterizzazione geologica geotecnica e sismica
inerente al progetto di ristrutturazione del
Condominio IL BISCIONE**

Via Unione Sovietica
COMUNE DI CARPI (MO).

Febbraio 2022
Rif. 151/2022



Dott. Geol. Pier Luigi Dallari



GEO GROUP s.r.l.
UFFICI: via Per Modena, 12 - 41051 Castelnuovo R. (MO)
SEDE LEGALE: via C. Costa, 182 - 41123 Modena (MO)
tel. 059/3967169 - 059/828367 - p. Iva e C.F. 02981500362
Email: info@geogroupmodena.it Pec: geo.group@winpec.it Sito:
www.geogroupmodena.it



RELAZIONE TECNICA

RELAZIONE GEOLOGICA

inerente alla caratterizzazione e modellazione geologica del sito (6.2.1 NTC 2018)

RELAZIONE GEOTECNICA

Relativa alle indagini, alla caratterizzazione e alla modellazione geotecnica a supporto della progettazione strutturale (6.2.2. NTC 2018) nonché relativa alla verifica delle opere di fondazione (6.4. NTC 2018)

RELAZIONE SULLA MODELLAZIONE SISMICA

Relativa alla "pericolosità sismica di base" del sito di costruzione (NTC 2018, DGR RER 1373/2011)

OGGETTO

**Caratterizzazione geologica geotecnica e sismica inerente al progetto di
ristrutturazione del Condominio IL BISCIONE**

Via Unione Sovietica
COMUNE DI CARPI (MO).

Rif. n. 151/2022



UFFICI: via Per Modena, 12 - 41051 Castelnuovo R. (MO)

SEDE LEGALE: via C. Costa, 182 - 41123 Modena (MO)

tel. 059/3967169; 059/828367 - p. Iva e C.F. 02981500362

Email: info@geogroupmodena.it Pec: geo.group@winpec.it Sito: www.geogroupmodena.it



INDICE DEL CONTENUTO

1	PREMESSE.....	3
2	INQUADRAMENTO GENERALE.....	4
2.1	Inquadramento geografico.....	4
2.2	Elementi geologici e geomorfologici	5
2.3	Inquadramento sismico.....	6
3	INDAGINI GEOGNOSTICHE.....	8
3.1	Indagini Geotecniche	8
3.1.1	Prove penetrometriche statiche con punta meccanica CPT.....	8
3.2	Indagini Geofisiche	9
3.2.1	Indagine sismica passiva a stazione singola (analisi HVSR)	9
4	CARATTERIZZAZIONE SISMICA DEL SITO.....	10
4.1	Pericolosità sismica di base.....	10
4.2	Categoria di sottosuolo (§ 3.2.2 NTC2018)	12
4.3	Azione sismica e risposta sismica del sito – Approccio semplificato	13
4.4	Azione sismica e risposta sismica del sito – Analisi di risposta sismica locale.....	14
5	MODELLAZIONE GEOLOGICA E GEOTECNICA DEL SITO	22
5.1	Modello geotecnico del sottosuolo.....	22
5.2	Tipologia di fondazioni e calcolo della capacità portante	22
5.2.1	Verifica nei confronti degli SLU (6.4 NTC 2018)	23
5.2.2	Verifica dei cedimenti	24
5.2.3	Modulo di sottofondo	24
5.3	Stabilità nei confronti della liquefazione (§ A2.2. DGR 476/2021).....	24
6	CONSIDERAZIONI CONCLUSIVE.....	27

TAVOLE

Tav. n. 1: "Carta Topografica"
Tav. n. 2: "Ripresa Satellitare"
Tav. n. 3: "Ubicazione indagini"

scala 1: 5.000;
scala 1: 5.000;
scala 1: 1.000.

ALLEGATI

ALL. n. 1 Prove penetrometriche statiche CPT;
ALL. n. 2 Verifiche geotecniche;
ALL. n. 3 Indagini sismiche;
ALL. n. 4 Verifica alla liquefazione.

1 PREMESSE

Nel mese di febbraio 2022 è stato eseguito il presente studio geologico, geotecnico e sismico inerente al progetto di ristrutturazione del condominio “IL BISCIONE” – via Unione Sovietica - Comune di Carpi (MO).

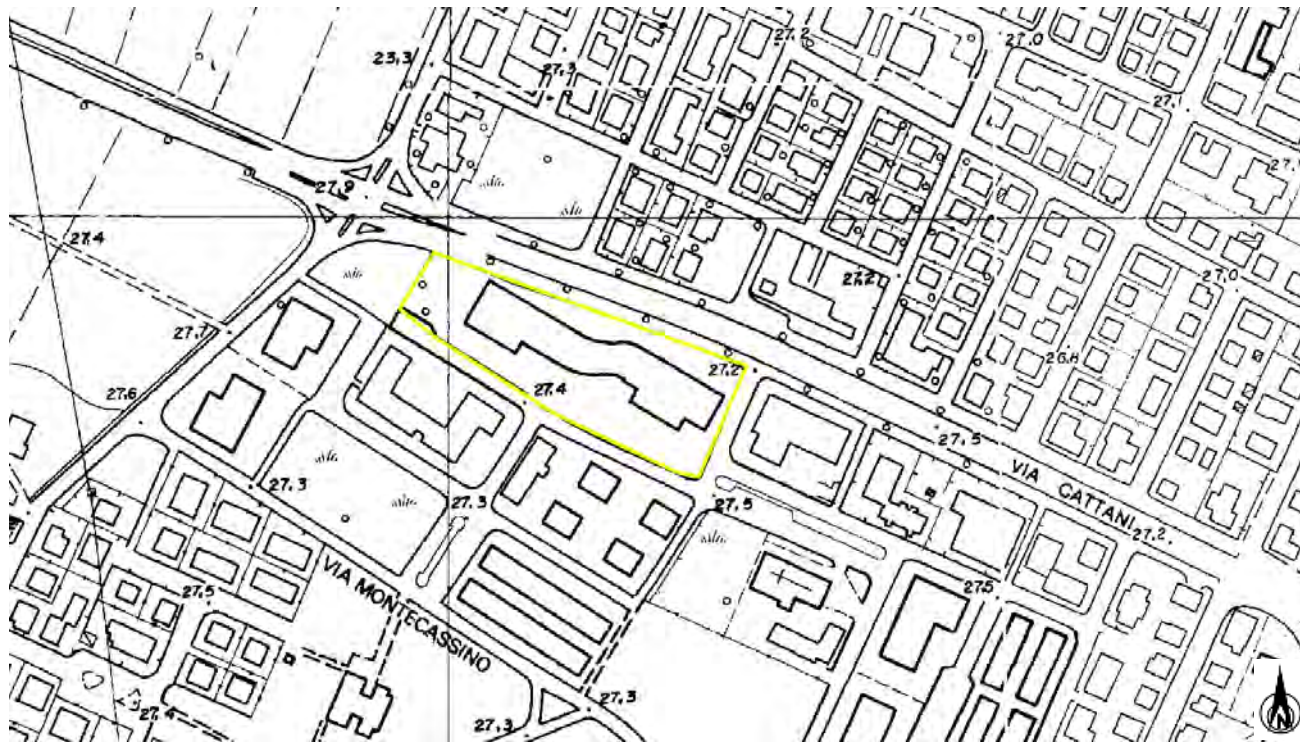


Fig.1.1 - Ubicazione del sito in studio.

La presente relazione fa riferimento alle disposizioni normative contenute in:

- Norme Tecniche per le Costruzioni 2018 – D.M. 17/01/2018;
- DGR 476/2021.

2 INQUADRAMENTO GENERALE

2.1 Inquadramento geografico

L'area in esame è collocata in ambiente di pianura, in prossimità del centro del Comune di Carpi (Fig.2.1). Le coordinate specifiche dell'area sono le seguenti:

SITO IN ESAME	
COORDINATE GEOGRAFICHE	
LATITUDINE	LONGITUDINE
44.773727	10.872004

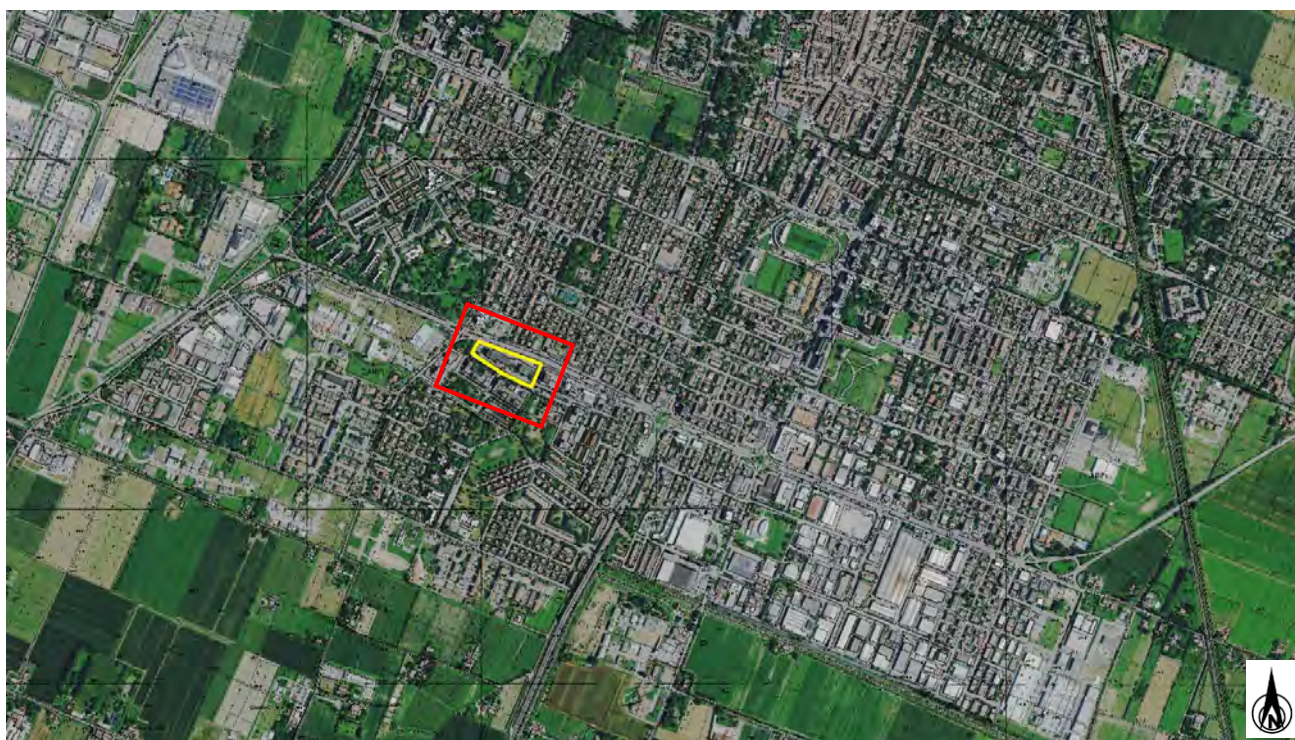
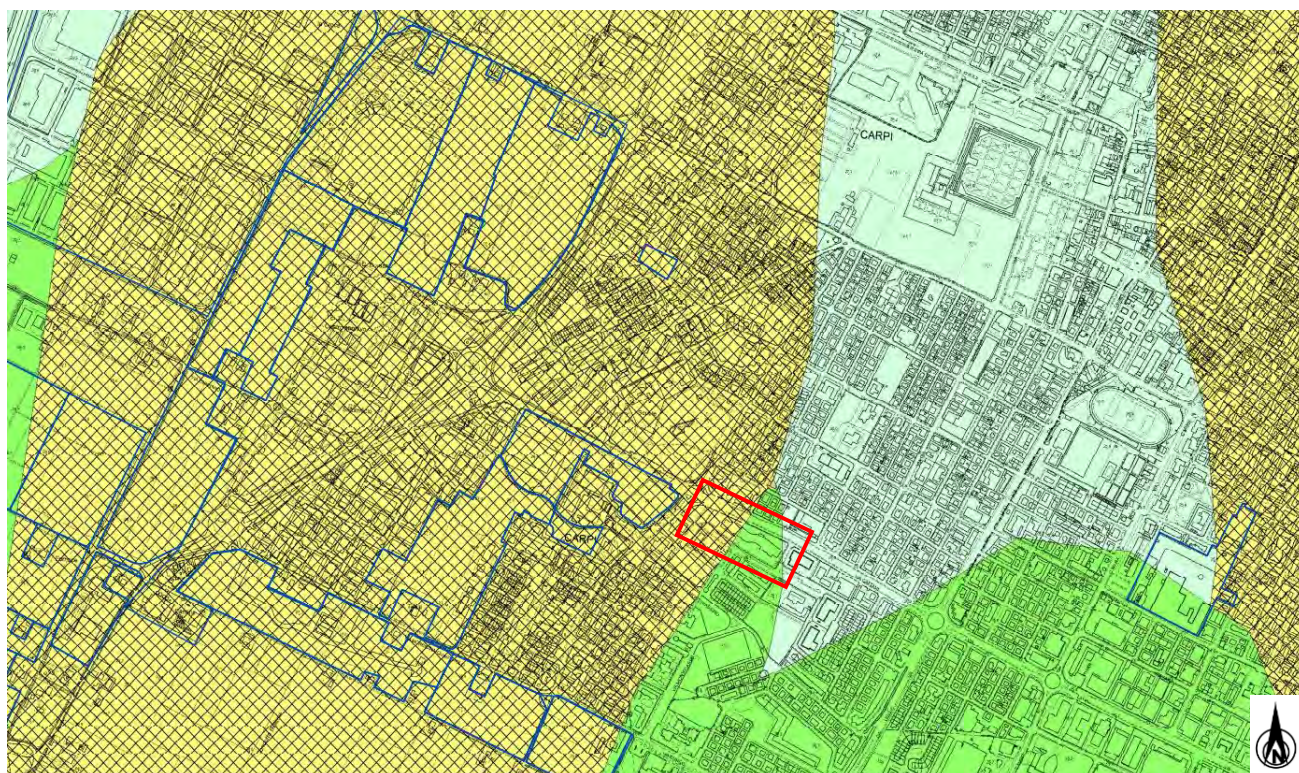


Fig.2.1 – Ubicazione geografica del sito in studio.

Per un completo inquadramento geografico dell'area si rimanda dalla cartografia allegata alla presente relazione, in particolare alla "Carta topografica", alla scala 1: 5.000 (tav. n. 1) e alla "Ripresa satellitare" alla scala 1: 5.000 (tav. n. 2).

2.3 Inquadramento sismico

A supporto dell'analisi sismica e della valutazione della stabilità del sito, successivamente descritta nei paragrafi seguenti, per quel che concerne i fenomeni co-sismici è stata preliminarmente consultata la cartografia relativa allo studio di Microzonazione Sismica del Comune di Carpi (MO), ed in particolare dalla "Carta delle microzone omogenee in prospettiva sismica", un cui estratto è riportato in figura (Fig. 2.3), si nota come l'area in studio ricade in parte nella zona 2002 "stabile suscettibile di amplificazione locale" e in parte nella zona 2006 soggetta a instabilità per liquefazione.



Zone stabili suscettibili di amplificazioni locali

- 2001 Zona 1-Alternanze di strati di argille e argille limose con strati di limi, limi sabbiosi e sabbie limose (sedimenti di provenienza appenninica)
- 2002 Zona 2- Argille e argille limose (con radi strati sabbiosi) sovrastate da un orizzonte superficiale limo-sabbioso
- 2003 Zona 3-Argille e limi prevalenti (con radi strati sabbiosi) fino ad almeno 25-40 m di profondità, sovrastanti depositi sabbia
- 2004 Zona 4-Peliti prevalenti (con radi strati sabbiosi) fino almeno 20-30 m di profondità
- 2005 Zona 5-Argille e limi fino 5-10 m di profondità. Sabbie prevalenti tra 5-20 m di profondità
- 2006 Zona 6-Alternanze tra strati metrici/plurimetrici sabbiosi e strati metrici/plurimetrici pelitici

Zone suscettibili di instabilità

- Liquefazioni
- Aree urbanizzate e urbanizzabili

Fig.2.3 – Carta delle microzone omogenee in prospettiva sismica – Comune di Carpi (MO) – Tav. 3.

Dalla consultazione della "Carta di microzonazione sismica FPGA" (Microzonazione Sismica del Comune di Carpi (MO)), un cui estratto è riportato in figura (Fig. 2.4), si nota come l'area in studio ricade in parte in zona instabile suscettibile di liquefazione, pertanto al fine di derivare la pericolosità sismica risulta ragionevole eseguire lo studio di risposta sismica locale di terzo livello di approfondimento §4.4.

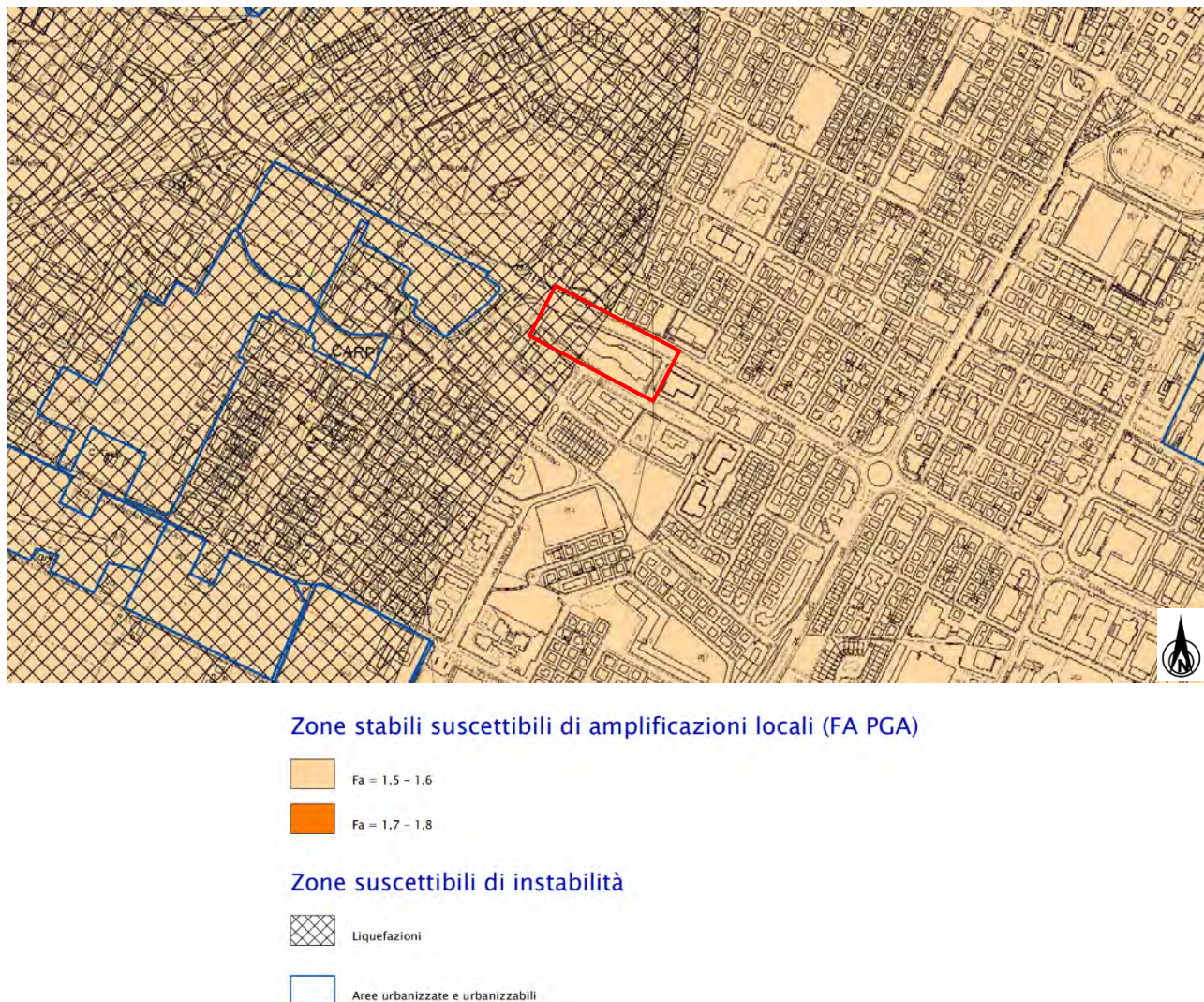


Fig.2.4 – Estratto della "Carta delle microzonazione sismica FPGA" – Microzonazione Sismica del Comune di Carpi (MO) – Tav.3.

3 INDAGINI GEOGNOSTICHE

3.1 Indagini Geotecniche

In relazione alla litologia presente nell'area e in base alla tipologia di intervento in progetto, sono state eseguite nell'area in studio le seguenti indagini geognostiche:

- **n. 2 prove penetrometriche statiche con punta meccanica CPT.**

I risultati delle suddette indagini sono riportati nell'**allegato n. 1**.

3.1.1 Prove penetrometriche statiche con punta meccanica CPT

Nell'**Allegato n. 1** sono riportati i grafici e le tabelle riguardanti le prove eseguite, corredate dall'elaborazione geotecnica e litostratigrafica. Le prove sono state eseguite con un penetrometro Pagani dotato di punta Begemann. Le caratteristiche tecniche dello strumento impiegato sono le seguenti:

Spinta	S	200 kN
Punta conica meccanica		
Diametro	Φ	35.7 mm
Area punta	A	10 cm ²
Angolo di apertura	α	60°
Manicotto laterale di attrito		
Diametro	Φ	35.7 mm
Altezza	h	133 mm
Area	A	150 cm ²
Velocità di avanzamento costante	V	2 cm/sec
Intervallo di misura		20 cm

Le prove sono state elaborate mediante un software che restituisce l'interpretazione litologica dei terreni indagati effettuata sulla base del rapporto qc/fs (Begemann, 1965; A.G.I. 1977) e la stima dei parametri geotecnici in condizioni non drenate tramite correlazioni.

Correlazioni utilizzate per la stima dei parametri geotecnici

Coesione non drenata (terreni coesivi) C_u

RACCOMANDAZIONI AGI 1977 – RICCI ET AL. 1974 – MARSLAND ET AL. 1974/1979

Modulo di deformazione non drenato E_u

DUNCAN-BUCHIGANI 1976

Modulo edometrico M_o

SANGLERAT 1972 – MITCHELL/GARDNER 1975 – RICCI ET AL. 1974 – HOLDEN 1973)

Peso unità di volume γ_{sat} (saturo sotto falda) – γ (umido sopra falda)

IN BASE ALLA NATURA LITOLOGICA TERZAGHI-PECK 1967 – BOWELS 1982

Velocità delle onde di taglio V_s

YOSHIDA MOTONORI 1988

3.2 Indagini Geofisiche

Per la caratterizzazione sismica dell'area in studio, è stata eseguita la seguente indagine geofisica:

- **n. 1 indagine sismica passiva HVSR.**

I risultati dell'indagine sismica sopra citata sono riportati integralmente nell'allegato n. 3.

3.2.1 Indagine sismica passiva a stazione singola (analisi HVSR)

La misura sismica passiva a stazione singola è stata eseguita mediante un tomografo digitale dotato di tre canali velocimetrici, modello Tromino® prodotto da Moho srl (Marghera (VE), Italia). Per l'acquisizione è stata adottata una frequenza di campionamento di 128 Hz per una durata totale di 20 minuti (Fig. 3.1).

Lo scopo dell'indagine è la misura della frequenza di risonanza del terreno, la quale è legata alla velocità delle onde di taglio Vs nel terreno dalla formula:

$$f = \frac{V_s}{4h}$$

dove h è lo spessore dello strato.

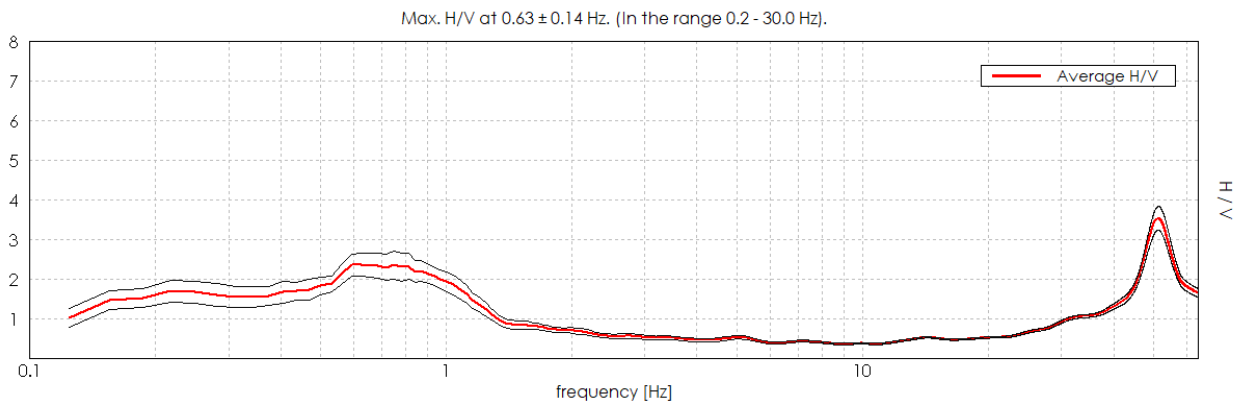


Fig.3.1 - Curva HVSR che identifica un picco a 0.63 Hz.

4 CARATTERIZZAZIONE SISMICA DEL SITO

4.1 Pericolosità sismica di base

Secondo la classificazione sismica del territorio nazionale proposta a partire dall'O.P.C.M. n. 3274/2003 e successive modifiche, il **Comune di Carpi (MO)** risulta appartenente alla **classe di sismicità 3** (Fig. 4.1).

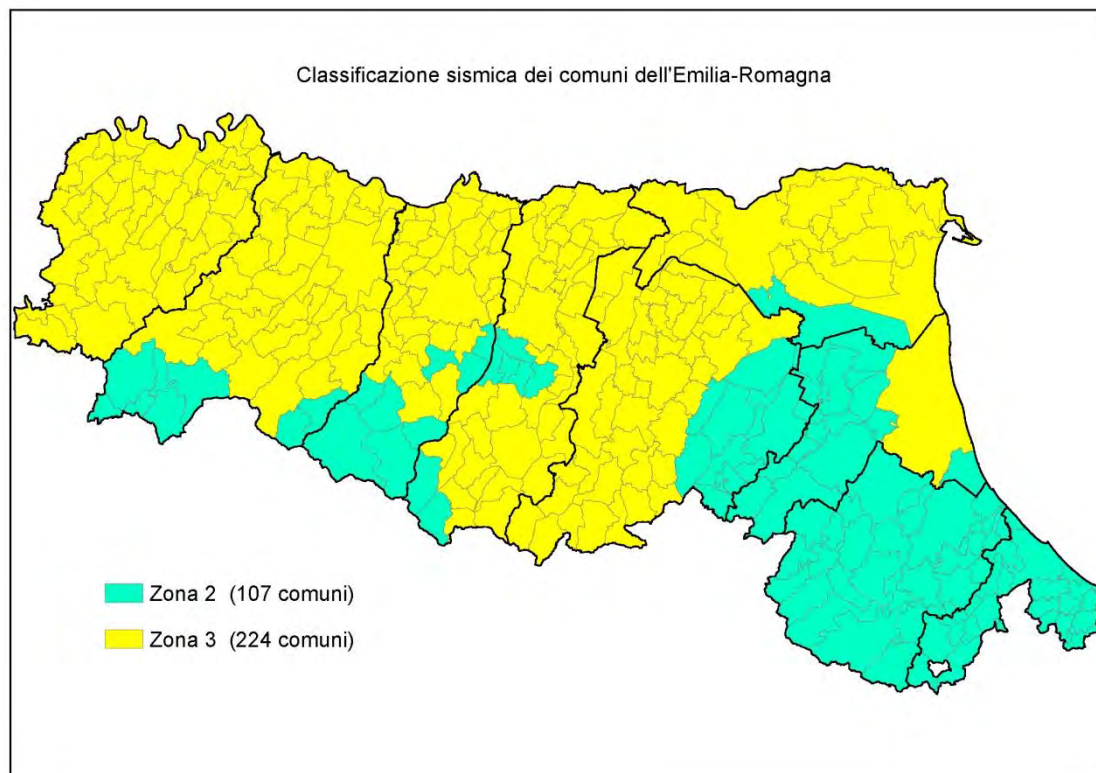


Fig.4.1 - Classificazione sismica dei comuni della Regione Emilia-Romagna (DGR 1164/18).

La suddivisione del territorio nazionale in zone a diversa classe di sismicità, caratterizzate da un valore di accelerazione di picco ed un corrispondente spettro di risposta elastico da utilizzare nella progettazione, risulta in realtà superata dall'entrata in vigore del D.M. 14/01/2008. Sulla base dei contenuti delle NNTC 2008 e delle successive NTC 2018, per ogni costruzione deve essere definita un'accelerazione di riferimento propria, in funzione delle coordinate geografiche dell'area e della vita nominale dell'opera.

Per ciascuna area in oggetto, in relazione a un periodo di riferimento T_R stimato di 475 anni, è stato definito un parametro di accelerazione massima attesa a_g definita in condizioni di campo libero su sito di riferimento rigido e con superficie topografica orizzontale. L'accelerazione a_g rappresenta uno dei parametri principali che definisce la **pericolosità sismica di base**, insieme ai parametri F_0 e T_c^* dello spettro di risposta elastico, desumibili nelle tabelle riportate sotto (Tab. 4.1).

Stati limite



Classe Edificio

II. Affollamento normale. Assenza di funz. pubbliche e sociali...



Vita Nominale

50



Interpolazione

Media ponderata

CU = 1

Stato Limite	Tr [anni]	a _g [g]	F _o	T _c * [s]
Operatività (SLO)	30	0.043	2.509	0.249
Danno (SLD)	50	0.054	2.505	0.265
Salvaguardia vita (SLV)	475	0.154	2.577	0.271
Prevenzione collasso (SLC)	975	0.206	2.526	0.278
Periodo di riferimento per l'azione sismica:	50			

Coefficienti sismici



Tipo

Stabilità dei pendii e fondazioni

☐ Muri di sostegno che non sono in grado di subire spostamenti.

H (m)

1

us (m)

0.1



Cat. Sottosuolo

C



Cat. Topografica

T1

	SLO	SLD	SLV	SLC
SS Amplificazione stratigrafica	1,50	1,50	1,46	1,39
CC Coeff. funz categoria	1,66	1,63	1,62	1,60
ST Amplificazione topografica	1,00	1,00	1,00	1,00

☐ Acc.ne massima attesa al sito [m/s²]



0.6

Coefficienti	SLO	SLD	SLV	SLC
kh	0.013	0.016	0.054	0.080
kv	0.006	0.008	0.027	0.040
Amax [m/s²]	0.633	0.799	2.204	2.806
Beta	0.200	0.200	0.240	0.280

Tab.4.1 - Tabella riassuntiva dei parametri sismici del sito in esame secondo NTC18.

4.2 Categoria di sottosuolo (§ 3.2.2 NTC2018)

Per determinare il parametro V_{30} e definire quindi la categoria di sottosuolo dell'area indagata (§ 3.2.2 NTC 2018) è stata eseguita in sito l'indagine sismica sopra descritta nel paragrafo precedente. Il valore di V_{30} si calcola attraverso la formula 3.2.1 delle NTC 2018:

$$V_{s,eq} = \frac{H}{\sum_i \frac{h_i}{V_{si}}}$$

dove H è la profondità del substrato, definito come quella formazione costituita da roccia o terreno molto rigido, caratterizzata da V_s non inferiore a 800 m/s.

Dall'elaborazione dell'indagine sismica HVSR, si è ottenuto il valore di $V_{s,30}$ e di frequenza naturale del terreno f_0 riportati nelle seguenti tabelle:

HVSR	0.63 ± 0.14 HZ	NON RISPETTA I CRITERI SESAME
	V_{s30}	219 m/s

Pertanto, secondo la classificazione del sottosuolo imposta dal NTC 2018, si definisce il sottosuolo indagato come appartenente alla appartenente alla **categoria C**, corrispondente a

DEPOSITI DI TERRENI A GRANA GROSSA MEDIAMENTE ADDENSATI O TERRENI A GRANA FINA MEDIAMENTE CONSISTENTI CON PROFONDITÀ DEL SUBSTRATO SUPERIORI A 30 m, CARATTERIZZATI DA UN MIGLIORAMENTO DELLE PROPRIETÀ MECCANICHE CON LA PROFONDITÀ E DA VALORI DI VELOCITÀ EQUIVALENTE COMPRESI TRA **180 m/s** E **360 m/s**.

4.3 Azione sismica e risposta sismica del sito – Approccio semplificato

Per la definizione dell'azione sismica, sulla base di quanto previsto dalle NTC si può fare riferimento ad un approccio semplificato che **si basa sull'individuazione della categoria di sottosuolo e le condizioni topografiche del sito**, in funzione delle quali si definiscono l'entità dell'amplificazione stratigrafica e topografica. Sulla base delle NTC 2018, e tenendo conto dei dati ottenuti **dalle indagini geofisiche eseguite in sito**, si **classifica** il terreno di fondazione in oggetto, come appartenente alla **categoria C**.

Si ricava quindi il **fattore stratigrafico S_s** , mediante la seguente relazione, valida suoli in classe C:

$$1.00 \leq S_s = 1.70 - (0.60 \cdot F_o \cdot a_g/g) \leq 1.50 \quad (4.1.1)$$

dove:

- F_o = fattore che quantifica l'amplificazione spettrale massima, su sito di riferimento rigido orizzontale, ed ha valore minimo pari a 2.2;
- a_g/g = accelerazione orizzontale del sito, con tempo di ritorno pari a **475 anni**/accelerazione di gravità;
- S_s = coefficiente di amplificazione stratigrafica o fattore stratigrafico, calcolato tramite la relazione sopra riportata.

Successivamente, sulla base delle condizioni topografiche del sito studiato, si considera un valore di un fattore topografico S_T sulla base della seguente tabella:

Categoria topografica	Ubicazione opera/intervento	S_T
T1	Superficie pianeggiante, pendii e rilievi isolati con inclinazione media $\leq 15^\circ$	1.0
T2	Pendii con inclinazione media $> 15^\circ$	1.2
T3	Rilievi con larghezza in cresta molto minore che alla base e inclinazione media $15^\circ \leq i \leq 30^\circ$	1.2
T4	Rilievi con larghezza in cresta molto minore che alla base e inclinazione media $> 30^\circ$	1.4

Per l'area studiata si riportano in tabella i parametri della pericolosità di base.

PARAMETRI PERICOLOSITÀ DI BASE			
Tr (anni)	$a_g(g)$	F_o	$T_c^*(s)$
475	0.154	2.577	0.271

PARAMETRI PERICOLOSITÀ DI SITO	
S_s	S_T
1.46	1.00

Si calcola infine per ciascuna area l'accelerazione massima orizzontale A_{max} con la seguente formula:

$$A_{max} = S_s \cdot S_T \cdot a_g = 1.46 \cdot 1.0 \cdot 0.154 = 0.225g$$

4.4 Azione sismica e risposta sismica del sito – Analisi di risposta sismica locale

Dato che l'area in studio ricade in parte in una zona soggetta a liquefazione §2.3, è stata definita l'azione sismica di progetto secondo uno studio di **risposta sismica locale**, secondo III livello di approfondimento.

Per ottemperare ai riferimenti normativi citati l'analisi è stata svolta secondo quanto indicato al § 7.11.3 delle NTC 2018, attraverso analisi numerica monodimensionale in campo lineare equivalente. Per fare ciò è stato utilizzato come strumento di lavoro il software di calcolo STRATA (University of Texas - Austin).

Ai fini della restituzione degli spettri di accelerazione, relativi allo stato limite SLV, è stata svolta la verifica dell'amplificazione del sito mediante l'utilizzo di un modello simulato in campo lineare equivalente.

Utilizzando un modello lineare equivalente è possibile ottenere una soluzione di un modello non lineare, attraverso analisi lineari complete nelle quali al termine di ogni interazione vengono aggiornati i parametri di **rigidezza** e **smorzamento** che sono dipendenti dallo stato di deformazione del terreno. Attraverso un'iterazione di calcoli si raggiunge una convergenza prefissata a monte della fase di computazione.

Il software STRATA è in grado di valutare la risposta sismica di un deposito di terreno, considerando un profilo monodimensionale in cui si propagano linearmente le onde sismiche, in funzione dei parametri dinamici attribuiti al terreno. Il terreno viene schematizzato come un sistema di N strati orizzontali omogenei, isotropi e visco-elastici, sovrastanti un semispazio uniforme, attraversati da un treno di onde di taglio che incidono verticalmente le superfici. Ogni strato è descritto per mezzo dello spessore H , del modulo di taglio massimo G_{\max} o dalla corrispondente velocità massima V_{\max} , dal valore dello smorzamento D , dal peso dell'unità di volume γ e dalle curve di decadimento del modulo di rigidezza a taglio normalizzato ($G / G_0 - \gamma$) e le corrispondenti curve dello smorzamento ($D - \gamma$) con la deformazione di taglio γ . Il modello lineare visco-elastico fa riferimento al modello reologico di Kelvin-Voigt, costituito da una molla e uno smorzatore viscoso in parallelo. Tale modello è descritto quindi dalla rigidezza (**G**) e dallo smorzamento (**D**). L'onda monodimensionale viene descritta dall'equazione in cui lo spostamento provocato (u) è funzione della profondità (z) e del tempo (t):

$$u(z,t)=A\exp[i(\omega t+k^*z)]+B\exp[i(\omega t-k^*z)]$$

Nell'equazione appena presentata A e B rappresentano le corrispettive amplificazioni del tetto e della base dello strato considerato. Il fattore k^* risulta dipendente dal modulo di taglio (G), dal grado di smorzamento (D) e dalla densità del terreno (ρ). Le relazioni sono le seguenti:

$$k^* = \frac{\omega}{v_s^*}$$
$$v_s^* = \sqrt{\frac{G^*}{\rho}}$$
$$G^* = G \left(1 - 2D^2 + i2D \sqrt{1 - D^2} \right) \approx G(1 + i2D)$$

Dove G^* e v_s^* rappresentano il modulo di taglio e la velocità di taglio.

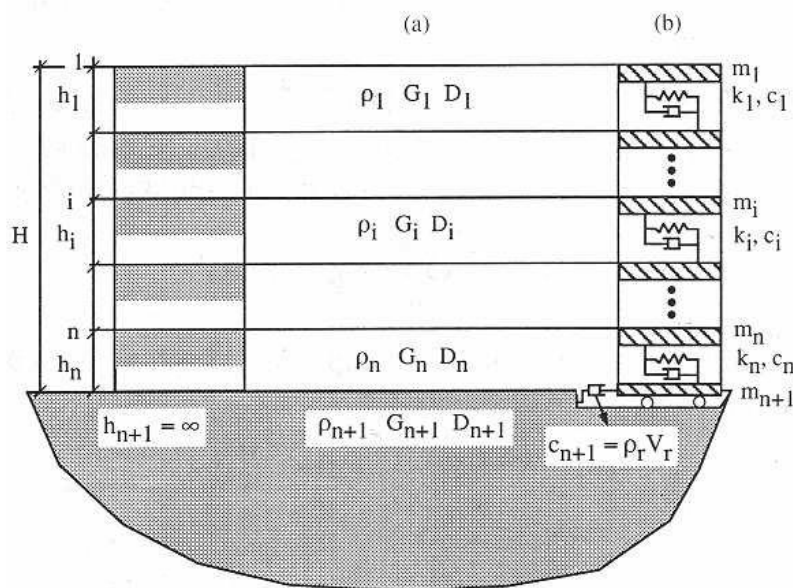


Fig.4.2 - Modello a strati continui adottato per la simulazione con il codice di calcolo STRATA.

MODELLO SIMULATO

Il modello simulato deriva dai dati ottenuti dalle prove che compongono la campagna geognostica eseguita in sito. Tale profilo approssima il comportamento del sottosuolo, dal punto di vista sismico, in corrispondenza dell'area studiata. Il profilo considerato deriva dall'interpolazione dei dati provenienti dalle indagini geofisiche eseguite, e i dati, di natura bibliografica, disponibili per il sito di riferimento.

Il profilo sismico del sottosuolo utilizzato per la modellazione della RSL deriva dall'elaborazione dell'indagine HVSR eseguita in sito, integrato con dati bibliografici. Si illustra successivamente il modello utilizzato:

Modello geofisico medio			
Depth at the bottom of the layer [m]	Thickness [m]	Vs [m/s]	Poisson ratio
2.00	2.00	150	0.45
7.00	5.00	180	0.45
15.00	8.00	200	0.44
25.00	10.00	250	0.44
55.00	30.00	320	0.43
95.00	40.00	390	0.43
155.00	60.00	440	0.43
inf.	inf.	600	0.42

EXPERIMENTAL vs. SYNTHETIC H/V

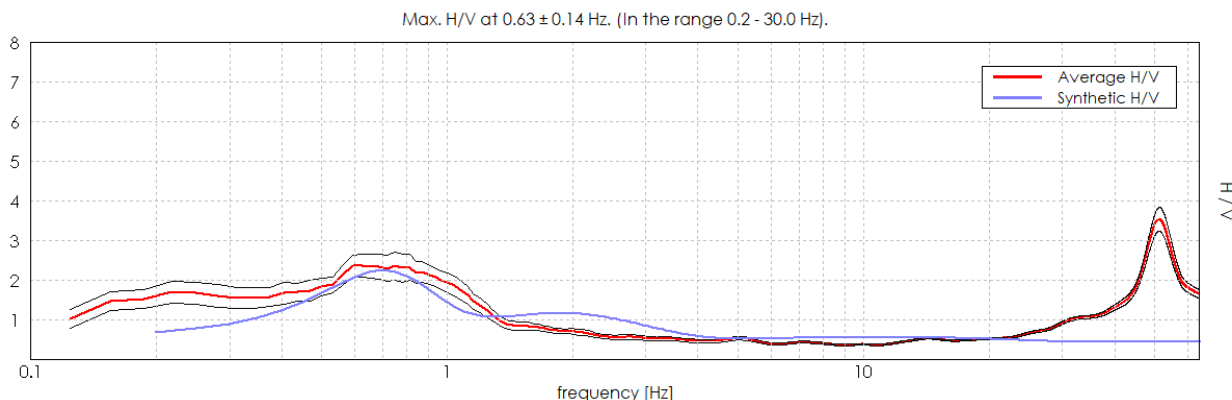


Fig.4.3 – Elaborazione HVSR.

Per descrivere il comportamento dinamico dei terreni costituenti il modello sono state considerate curve di decadimento dei moduli di rigidità e smorzamento, al variare della deformazione percentuale $\gamma(\%)$. Si riportano successivamente le curve di decadimento considerate per l'esecuzione del calcolo di risposta sismica locale:

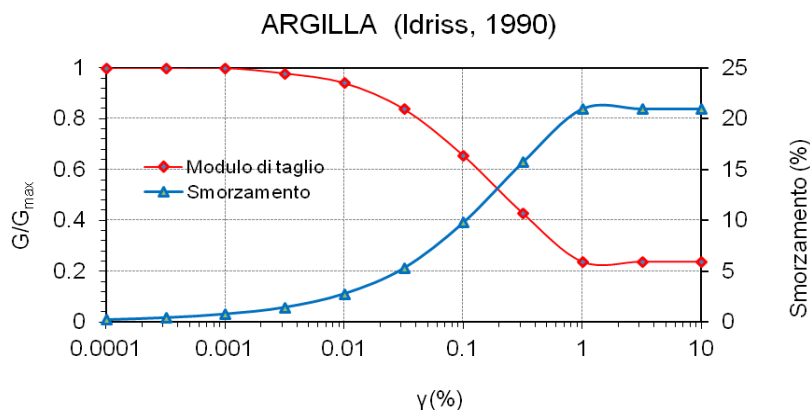


Fig.4.4 - Curve di decadimento dei moduli G/G_{max} e D , utilizzate per descrivere il comportamento dei materiali coesivi e incoerenti che compongono il sottosuolo in oggetto.

Trattandosi di una verifica diretta ai fini progettuali, in accordo con quanto esposto nel § 7.3 delle NTC 2018, l'analisi RSL in oggetto è stata svolta adottando come input sismico 30 accelerogrammi, corrispondenti allo stato limite SLV. Gli accelerogrammi reali e misurati, sono stati individuati mediante l'utilizzo del software REXEL v. 3.5 (Computer aided code-based real record selection for seismic analysis of structures) realizzato dal Dipartimento di Strutture per l'ingegneria e l'architettura dell'Università degli Studi di Napoli Federico II. Utilizzando le coordinate relative al sito di riferimento, considerando una categoria di sottosuolo A e una classe d'uso pari a II e una vita nominale pari a 50 anni, sono stati definiti n. 30 accelerogrammi per lo stato limite SLV. Gli accelerogrammi sono stati prelevati dal "European Strong-motion Database".

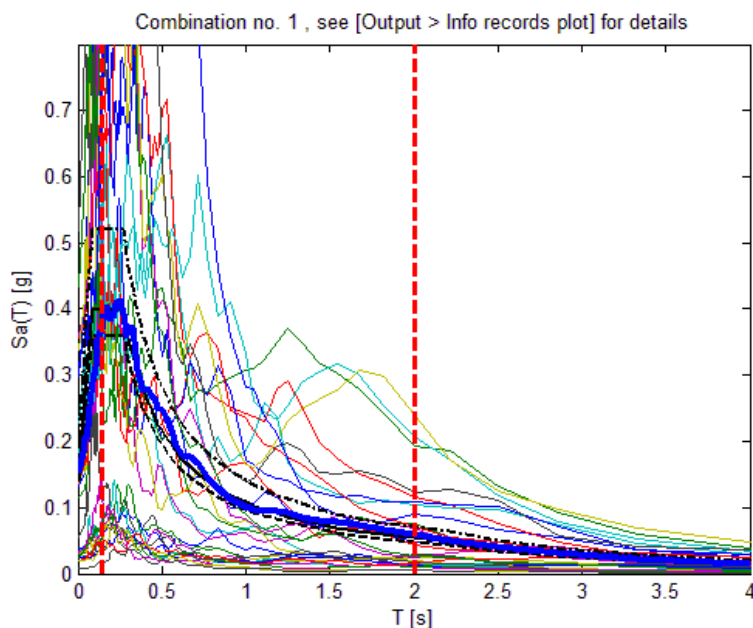
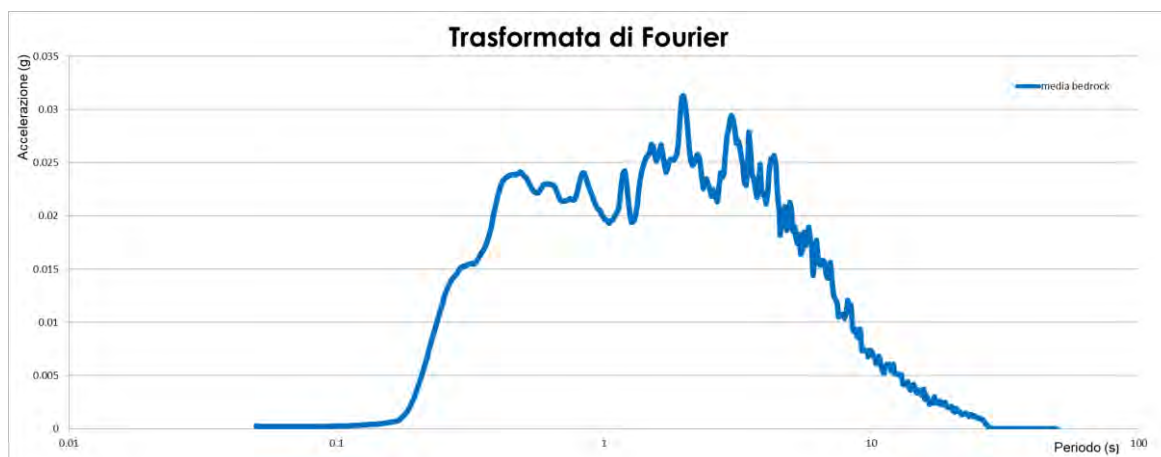


Fig.4.5 - Forme spettrali relative agli accelerogrammi considerati.

RISULTATI OTTENUTI

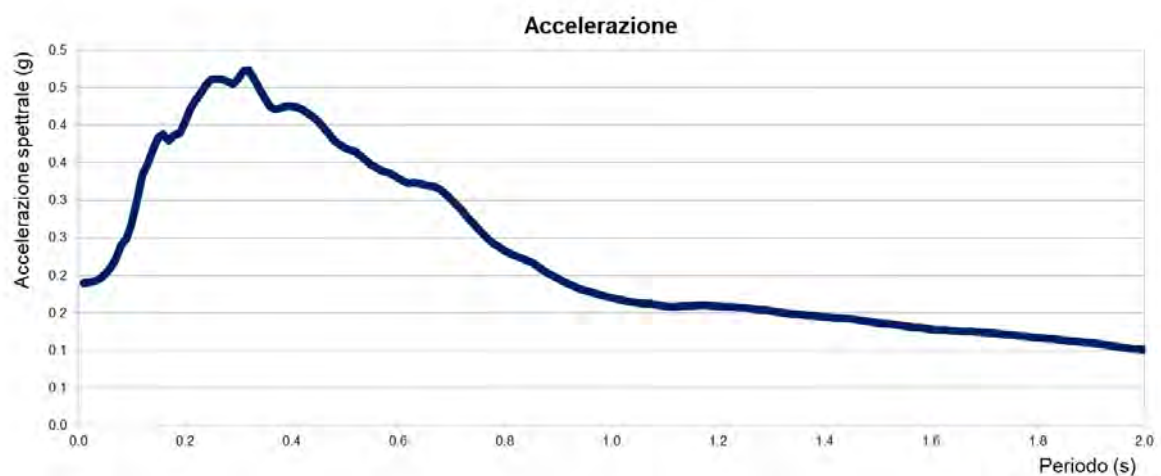
Sulla scorta delle verifiche svolte mediante software STRATA, in riferimento al modello considerato, è stato possibile definire, nel dominio delle frequenze, la funzione TF (Funzione di trasferimento) e rapporto spettrale di amplificazione associato. Per via grafica si inserisce successivamente la funzione di trasferimento TF ottenuta a seguito dell'analisi RSL in oggetto. Attraverso tale funzione è possibile definire il campo di frequenze entro il quale il sottosuolo, in corrispondenza del sito in oggetto, amplifica il segnale sismico, oltre che a quantificare l'amplificazione stessa.



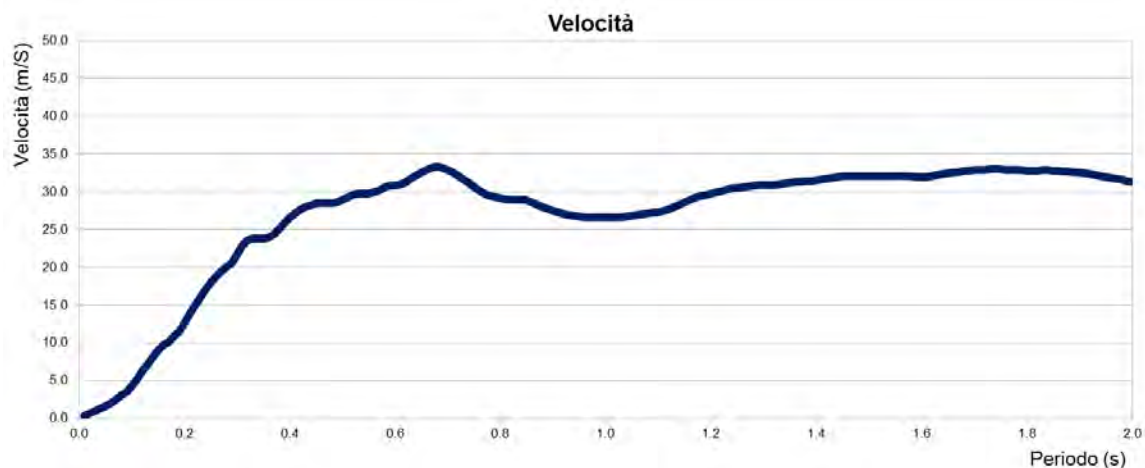


In alto Funzione di Trasferimento e in basso funzione FT.

Definiti i parametri che descrivono il comportamento del sottosuolo nel campo elastico lineare equivalente e descritti gli accelerogrammi su suolo rigido validi per il sito in oggetto, attraverso il software STRATA sono state definite le seguenti forme spettrali, in termini accelerazione e velocità alla superficie:

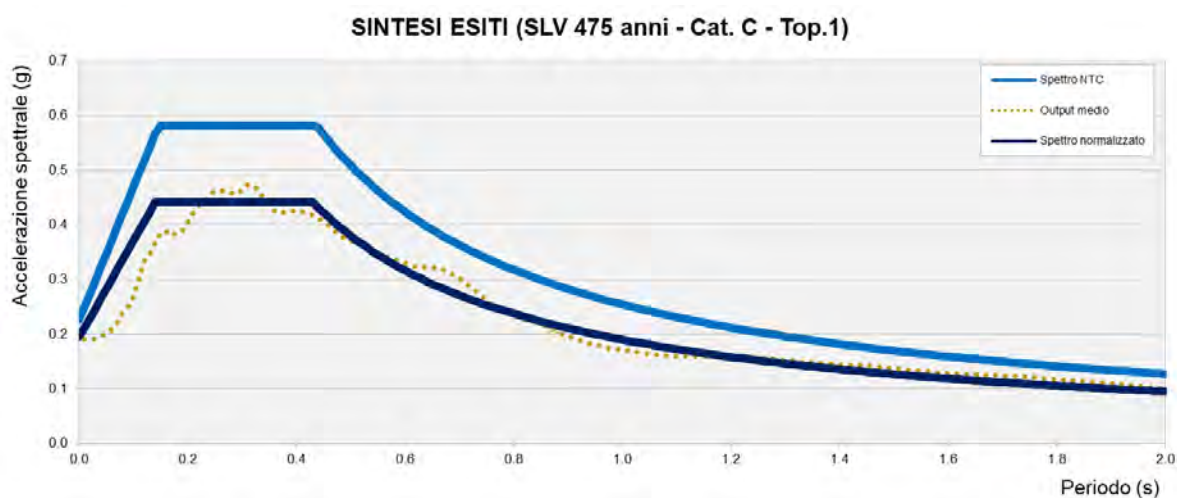


Accelerazioni spettrali relative a un periodo di ritorno pari a 475 anni (SLV)



Velocità spettrali relative a un periodo di ritorno pari a 475 anni (SLV).

Dati i valori di accelerazione ottenuti dal calcolo eseguito, è stato definito lo spettro normalizzato per lo stato limite considerato. Così facendo è stato ottenuto lo spettro a probabilità uniforme, sulla base dei risultati ottenuti mediante il software STRATA. Lo spettro normalizzato RSL è stato derivato attraverso le indicazioni contenute nell'ordinanza n.55 del 24 aprile 2018 "Disciplina per la delocalizzazione temporanea delle attività economiche o produttive e dei servizi pubblici danneggiati dal sisma eseguiti e conclusi in data anteriore a quella di entrata in vigore del decreto legge n. 189 del 2016".



Sintesi esiti RSL e confronto con spettro NTC2018 (SLV) derivato secondo approccio semplificato

Lo spettro RSL, sia nella forma per punti, sia nella forma normalizzata, definito sulla base di 30 simulazioni definisce un'azione sismica **inferiore** rispetto a quanto derivabile secondo approccio semplificato NTC2018 per una categoria di sottosuolo di tipo C. In forza di ciò **risulta ragionevole e cautelativo adottare, ai fini di progettazione, l'azione sismica derivabile secondo approccio semplificato (categorie di sottosuolo) come esplicitato da normativa tecnica NTC2018**. Si illustra successivamente, in forma tabellare, lo spettro RSL per punti e il suo corrispettivo normalizzato.

SLV – PARAMETRI SPETTRO NORMALIZZATO - RSL

ag (g)	Fo	Tc*	TB(s)	TC(s)	Ss	Amax (g)
0.154	2.273	0.271	0.14	0.43	1.26	0.194

RSL NORMALIZZATO SLV

T [s]	Ag	0.5	0.37926	1.01	0.187752475	1.52	0.124756579
0.00	0.19404	0.51	0.371823529	1.02	0.185911765	1.53	0.123941176
0.01	0.21168	0.52	0.364673077	1.03	0.184106796	1.54	0.123136364
0.02	0.22932	0.53	0.357792453	1.04	0.182336538	1.55	0.122341935
0.03	0.24696	0.54	0.351166667	1.05	0.1806	1.56	0.121557692
0.04	0.2646	0.55	0.344781818	1.06	0.178896226	1.57	0.120783439
0.05	0.28224	0.56	0.338625	1.07	0.177224299	1.58	0.120018987
0.06	0.29988	0.57	0.332684211	1.08	0.175583333	1.59	0.119264151
0.07	0.31752	0.58	0.326948276	1.09	0.173972477	1.6	0.11851875
0.08	0.33516	0.59	0.32140678	1.1	0.172390909	1.61	0.117782609
0.09	0.3528	0.6	0.31605	1.11	0.170837838	1.62	0.117055556
0.1	0.37044	0.61	0.310868852	1.12	0.1693125	1.63	0.116337423
0.11	0.38808	0.62	0.305854839	1.13	0.167814159	1.64	0.115628049
0.12	0.40572	0.63	0.301	1.14	0.166342105	1.65	0.114927273
0.13	0.42336	0.64	0.296296875	1.15	0.164895652	1.66	0.11423494
0.14	0.441	0.65	0.291738462	1.16	0.163474138	1.67	0.113550898
0.15	0.441	0.66	0.287318182	1.17	0.162076923	1.68	0.112875
0.16	0.441	0.67	0.283029851	1.18	0.16070339	1.69	0.112207101
0.17	0.441	0.68	0.278867647	1.19	0.159352941	1.7	0.111547059
0.18	0.441	0.69	0.274826087	1.2	0.158025	1.71	0.110894737
0.19	0.441	0.7	0.2709	1.21	0.156719008	1.72	0.11025
0.2	0.441	0.71	0.267084507	1.22	0.155434426	1.73	0.109612717
0.21	0.441	0.72	0.263375	1.23	0.154170732	1.74	0.108982759
0.22	0.441	0.73	0.259767123	1.24	0.152927419	1.75	0.10836
0.23	0.441	0.74	0.256256757	1.25	0.151704	1.76	0.107744318
0.24	0.441	0.75	0.25284	1.26	0.1505	1.77	0.107135593
0.25	0.441	0.76	0.249513158	1.27	0.149314961	1.78	0.106533708
0.26	0.441	0.77	0.246272727	1.28	0.148148438	1.79	0.105938547
0.27	0.441	0.78	0.243115385	1.29	0.147	1.8	0.10535
0.28	0.441	0.79	0.240037975	1.3	0.145869231	1.81	0.104767956
0.29	0.441	0.8	0.2370375	1.31	0.144755725	1.82	0.104192308
0.3	0.441	0.81	0.234111111	1.32	0.143659091	1.83	0.103622951
0.31	0.441	0.82	0.231256098	1.33	0.142578947	1.84	0.103059783
0.32	0.441	0.83	0.22846988	1.34	0.141514925	1.85	0.102502703
0.33	0.441	0.84	0.22575	1.35	0.140466667	1.86	0.101951613
0.34	0.441	0.85	0.223094118	1.36	0.139433824	1.87	0.101406417
0.35	0.441	0.86	0.2205	1.37	0.138416058	1.88	0.100867021
0.36	0.441	0.87	0.217965517	1.38	0.137413043	1.89	0.100333333
0.37	0.441	0.88	0.215488636	1.39	0.13642446	1.9	0.099805263
0.38	0.441	0.89	0.213067416	1.4	0.13545	1.91	0.099282723
0.39	0.441	0.9	0.2107	1.41	0.134489362	1.92	0.098765625
0.4	0.441	0.91	0.208384615	1.42	0.133542254	1.93	0.098253886
0.41	0.441	0.92	0.206119565	1.43	0.132608392	1.94	0.097747423
0.42	0.441	0.93	0.203903226	1.44	0.1316875	1.95	0.097246154
0.43	0.441	0.94	0.201734043	1.45	0.13077931	1.96	0.09675
0.44	0.430977273	0.95	0.199610526	1.46	0.129883562	1.97	0.096258883
0.45	0.4214	0.96	0.19753125	1.47	0.129	1.98	0.095772727
0.46	0.41223913	0.97	0.195494845	1.48	0.128128378	1.99	0.095291457
0.47	0.403468085	0.98	0.1935	1.49	0.127268456	2	0.094815
0.48	0.3950625	0.99	0.191545455	1.5	0.12642		
0.49	0.387	1	0.18963	1.51	0.125582781		

5 MODELLAZIONE GEOLOGICA E GEOTECNICA DEL SITO

5.1 Modello geotecnico del sottosuolo

Sulla base dei dati emersi dalle elaborazioni delle indagini geotecniche e litostratigrafiche, si può riassumere il seguente modello geotecnico schematico del terreno investigato.

Modello geotecnico medio										
Profondità	Deposito	$\gamma_{\text{NAT}} / \gamma_{\text{SAT}}$	c'	C_u	D_r	ϕ^I	E_s	M	D_w	
A	0.0 – 1.8	Argilla limosa sovraconsolidata	18.5/21.5	10.0	100.0	/	25	14000	10000	
B	1.8 – 7.4	Argilla limosa a media consistenza	18.0/21.0	5.8	58.0	/	23	8120	4500	-1.8
C	7.4 – 13.4	Argilla limosa a media elevata consistenza	18.0/21.0	7.0	70.0	/	24	9800	5000	
D	13.4 – 16.8	Argilla limosa a media consistenza	18.0/21.0	6.5	65.0	/	23	9100	5000	
E	16.8 – 20.0	Argilla limosa a elevata consistenza	18.5/21.5	8.0	80.0	/	25	11200	6000	
Descrizione litologica		Peso di volume naturale e saturo	Coesione efficace	Coesione non drenata	Densità relativa	Angolo d'attrito efficace di picco	Modulo di Young	Modulo edometrico	Soggiacenza	
M da p.c.		(kN/m ³)	(kN/m ²)	(kN/m ²)	(%)	(°)	(kN/m ²)	(kN/m ²)	(m da p.c.)	

La quota zero del presente modello corrisponde al piano campagna, dove sono state eseguite le prove penetrometriche.

Pertanto, se la quota zero di progetto differisce sostanzialmente dalla quota del piano campagna (quota 0.0 m di riferimento delle prove geologiche) occorre prestare attenzione agli spessori e alle quote indicati nei modelli e nelle analisi del presente elaborato.

5.2 Tipologia di fondazioni e calcolo della capacità portante

Per il calcolo della capacità portante del terreno si sono utilizzati i parametri geotecnici emersi dall'elaborazione delle prove penetrometriche eseguite nel sito in studio. Al fine di calcolare la capacità portante del terreno si sono **ipotizzate** fondazioni superficiali **nastriiformi**.

larghezza della fondazione	B	=	1.5 m
lunghezza della fondazione	B'	=	5.0 m
profondità della quota di imposta	D	=	-3.5 m da p.c.

Parametri di resistenza e deformabilità:

Profondità	Deposito	$\gamma_{\text{NAT}} / \gamma_{\text{SAT}}$	c'	C_u	D_r	ϕ^I	E_s	M	D_w	
B	1.8 – 7.4	Argilla limosa a media consistenza	18.0/21.0	5.8	58.0	/	23	8120	4500	-1.8
Descrizione litologica		Peso di volume naturale e saturo	Coesione efficace	Coesione non drenata	Densità relativa	Angolo d'attrito efficace di picco	Modulo di Young	Modulo edometrico	Soggiacenza	
M da p.c.		(kN/m ³)	(kN/m ²)	(kN/m ²)	(%)	(°)	(kN/m ²)	(kN/m ²)	(m da p.c.)	

5.2.1 Verifica nei confronti degli SLU (6.4 NTC 2018)

In relazione a quanto esposto nella normativa tecnica nazionale NTC 2018, si procede alla verifica nei confronti degli stati limite ultimi (**SLU**) di resistenza del terreno (**GEO**) relativamente alle opere di fondazione in oggetto, di **tipo superficiale**, fornendo il valore di resistenza offerta dal sistema geotecnico (**R_{d GEO}**). Il valore di progetto della resistenza **R_d** può essere determinato:

- a) in modo analitico, con riferimento al valore caratteristico dei parametri geotecnici del terreno, diviso per il valore del coefficiente parziale γ_M specificato nella Tab. 6.2.II (NTC 2018) e tenendo conto, ove necessario, dei coefficienti parziali γ_R specificati nei paragrafi relativi a ciascun tipo di opera;
- b) in modo analitico, con riferimento a correlazioni con i risultati di prove in sito, tenendo conto dei coefficienti parziali γ_R riportati nelle tabelle contenute nei paragrafi relativi a ciascun tipo di opera;
- c) sulla base di misure dirette su prototipi, tenendo conto dei coefficienti parziali γ_R riportati nelle tabelle contenute nei paragrafi relativi a ciascun tipo di opera.

Le verifiche sono effettuate applicando la combinazione (A1+M1+R3) di coefficienti parziali prevista dall'approccio 2, tenendo conto dei valori dei coefficienti parziali riportati nelle tabelle 6.2.I, 6.2.II e 6.4.I.

Fattori correttivi sismici: Paolucci e Pecker (1997)

Per tener conto degli effetti inerziali indotti dal sisma nei riguardi della determinazione del q_{lim} vengono introdotti, all'interno della formula di Terzaghi, i fattori correttivi z:

$$z_c = 1 - 0.32 \cdot K_h \quad z_q = \left(1 - \frac{k_h}{\tan \varphi}\right)^{0.35} \quad z_y = z_q$$

Dove il K_h è il coefficiente sismico orizzontale. Le verifiche sono state effettuate considerando quindi i seguenti parametri sismici:

- a_{MAX} (ag/g): **0.225g** (calcolata con l'approccio semplificato NTC18, relativa a SLV ; $T_r = 475$ anni);
- coefficiente intensità sismica del terreno K_h : 0.054.

La determinazione della resistenza R_d GEO è stata svolta nella condizione sia a breve che a lungo termine per l'intervento in progetto.

La resistenza R_d calcolata in condizioni “**non drenate**” dove **$C_u \neq 0$ e $\phi = 0$** , applicando il coefficiente parziale di riduzione della coesione non drenata secondo la seguente relazione **$C_{ud} = C_{uk} / 1.0$** , per cui si avrà **$C_{ud} = C_{uk}$** , dove **C_{ud} = coesione non drenata di progetto** e **C_{uk} = coesione non drenata caratteristica**, sarà pari a:

CONDIZIONE STATICA – CONDIZIONI NON DRENATE – A1+M1+R3		
Profondità di imposta	Larghezza della fondazione	Carico limite ultimo SLU - F.S. = 2.3
D= - 3.5 m da p.c.	B= 1.5 m X L= 5.0 m	1.63 kg/cm ² \approx 163 kN/m ²

La resistenza R_d calcolata in condizioni “**drenate**” seguendo l'**Approccio 2**, combinazione (**A1 + M1 + R3**), applicando il coefficiente di riduzione parziale per la tangente dell'angolo di attrito secondo la relazione: **γ_g**

$\phi'd = \tan \phi'k / 1,0$, dove $\phi'd$ è l'angolo d'attrito di progetto, ne deriva, essendo $\phi'k = \phi'd$. Quindi secondo la formula di Terzaghi si ottiene, per l'intervento in progetto uno stato limite ultimo pari a:

CONDIZIONE STATICA – CONDIZIONI DRENATE – A1+M1+R3		
Profondità di imposta	Larghezza della fondazione	Carico limite ultimo SLU F.S. = 2.3
D=- 3.5 m da p.c.	B= 1.5 m X L= 5.0 m	2.74 kg/cm ² \approx 274 kN/m ²

CONDIZIONE PSEUDO-STATICA – CONDIZIONI DRENATE – A1+M1+R3		
Profondità di imposta	Larghezza della fondazione	Carico limite ultimo SLU F.S. = 2.3
D=- 3.5 m da p.c.	B= 1.5 m X L= 5.0 m	2.64 kg/cm ² \approx 264 kN/m ²

5.2.2 Verifica dei cedimenti

È stato eseguito il calcolo del cedimento edometrico del terreno di fondazione mediante il metodo di consolidazione monodimensionale di Terzaghi.

Profondità di imposta	B x L	Carico considerato	Cedimento per consolidazione
D=- 3.5 m da p.c.	B= 1.5 m X L= 5.0 m	150 kN/m ²	2.365 cm

5.2.3 Modulo di sottofondo

Il modello di Winkler considera il terreno come formato da una distribuzione di vincoli semplici bilaterali elastici. La relazione che ne regola il comportamento è di tipo lineare tra il cedimento (w) e la pressione di contatto (p): $p = kw$.

Il parametro k è detto costante di sottofondo. Come è noto, k non dipende solo dal terreno ma anche dai carichi applicati, dalle proprietà del terreno, dalla forma e le dimensioni della fondazione.

Utilizzando la Formula di Bowles (1974):

$$k \text{ (kN/mc)} = 40 \cdot Q_{lim} \cdot F_c,$$

dove $F_c = 2.54/\text{cedimento della fondazione (cm)}$; è stato considerato un cedimento di riferimento pari a $S = 2.365 \text{ cm}$ ed un carico applicato al terreno di fondazione pari a $P = 1.50 \text{ kg/cm}^2 \approx 150 \text{ kN/m}^2$, il modulo di sottofondo o costante di Winkler è risultato pari a $K = 1.93 \text{ kg/cm}^3 \approx 19332 \text{ kN/m}^3$.

5.3 Stabilità nei confronti della liquefazione (§ A2.2. DGR 476/2021)

In accordo con la normativa regionale DGR 476/21 si è proceduto alla verifica della liquefazione per le verticali di prova CPT1 – CPT2.

La valutazione del fenomeno della liquefazione viene svolta attraverso il calcolo del fattore di sicurezza di ciascun livello che compone il sottosuolo analizzato nei confronti del fenomeno stesso. Il fattore di sicurezza è derivato secondo la seguente formulazione:

$$F_L(z) = \frac{CRR_{M=7.5; \sigma'_v=1\text{atm}}}{CSR} \cdot MSF \cdot K_\sigma$$

Dove:

CRR è rappresentato dal rapporto di resistenza ciclica

MSF rappresenta il fattore di scala della magnitudo che è funzione della magnitudo stessa, della PGA e del valore di CRR

K_σ è il fattore di correzione che tiene conto della pressione efficace alla profondità a cui la resistenza viene valutata

CSR è il rapporto di tensione ciclica, ovvero la tensione di taglio indotta dall'azione sismica, normalizzata rispetto alla tensione verticale efficace. Tale parametro è derivabile secondo la seguente formulazione:

$$CSR = \frac{\tau_{media}}{\sigma'_{v0}} = 0.65 \cdot \frac{a_{max}}{g} \cdot \frac{\sigma_{v0}}{\sigma'_{v0}} \cdot r_d$$

I termini che compongono la seguente relazione sono rappresentati da a_{max}/g che descrive il valore dell'accelerazione orizzontale a $T = 0.00$ s, il rapporto della tensione litostatica totale ed efficace, e il coefficiente riduttivo r_d . Quest'ultimo, in accordo con la predetta normativa è stato stimato secondo la seguente formulazione:

$$r_d = \exp[\alpha(z) + \beta(z) \cdot M]$$
$$\alpha(z) = -1.012 - 1.126 \cdot \sin\left(\frac{z}{11.73} + 5.133\right)$$
$$\beta(z) = 0.106 + 0.118 \cdot \sin\left(\frac{z}{11.28} + 5.142\right)$$

dove M rappresenta il valore di magnitudo di riferimento per il sito in analisi.

Il valore **CRR** è stato ricavato attraverso la metodologia di calcolo proposta da **Boulanger&Idriss 2014**. Per le specifiche della procedura di calcolo adottata si faccia riferimento all'allegato **A2.2** della DGR 476/2021 della Regione Emilia-Romagna. L'analisi di liquefazione è stata eseguita entro i -20.00 m rispetto al piano campagna come prescritto dalla normativa di riferimento.

Le verifiche sono state svolte considerando una magnitudo di riferimento **M = 6.14** (derivante dalla zonazione sismogenetica) e una accelerazione massima al suolo **A_{max} = 0.225g** (NTC18).

A seguito dell'identificazione del fattore di sicurezza F_L è stato determinato l'indice potenziale di liquefazione IL (LPI) attraverso il quale è possibile definire l'esposizione del sito al rischio di liquefazione. Il potenziale di liquefazione LPI è stato determinato secondo la seguente formulazione:

$$I_L = \int_0^{z_{crit}} F(z) \cdot w(z) \cdot dz \quad \text{in cui} \quad w(z) = \frac{200}{z_{crit}} \cdot \left(1 - \frac{z}{z_{crit}}\right)$$

Dove $F(z)$ viene determinato secondo le formulazioni proposte da Somnez (2003)

$$\begin{array}{ll} F(z) = 0 & \text{per } F_L \geq 1.2 \\ F(z) = 2 \cdot 10^6 \cdot \exp(-18.427 \cdot F_L) & \text{per } 1.2 > F_L \geq 0.95 \\ F(z) = 1 - F_L & \text{per } F_L \leq 0.95 \end{array}$$

In base al valore di LPI ottenuto è possibile fornire un'indicazione del rischio di liquefazione. In considerazione delle linee guida emesse dalla Regione Emilia-Romagna, a seguito degli eventi sismici di Maggio e Giugno 2012, si considera la classificazione di rischio definita da **Somnez 2003**:

INDICE DI LIQUEFAZIONE	Rischio di liquefazione
LPI=0	Nulla
0<LPI≤2	Basso
2<LPI≤5	Moderato
5<LPI≤10	Alto
15>LPI	Molto alto

Si illustra successivamente il valore di LPI derivato dalle verticali di prove CPT1 – CPT2 considerando un'accelerazione massima al suolo $A_{max} = 0.225g$ (calcolata secondo l'approccio semplificato NTC18), la soggiacenza della falda freatica è stata ipotizzata in condizioni sismiche alla profondità $D_w = -1.00$ m e una magnitudo di riferimento pari a $M=6.14$.

A seguito delle verifiche, in riferimento delle verticali CPT1-CPT2, sono stati ottenuti i seguenti valori di LPI:

INDAGINE	INDICE DI LIQUEFAZIONE	RISCHIO
CPT1	0.0	NULLO
CPT2	0.8	BASSO

6 CONSIDERAZIONI CONCLUSIVE

Il presente elaborato riassume e illustra le caratteristiche geologico-stratigrafiche, geotecniche e sismiche relative al volume significativo di sottosuolo indagato a supporto del progetto di ristrutturazione del condominio “IL BISCIONE” – via Unione Sovietica - Comune di Carpi (MO).

Sulla base dei dati emersi dalle indagini geotecniche eseguite (§ 3.1), si fornisce per il terreno di fondazione indagato, il modello geotecnico medio riportato nel § 5.1 della presente relazione.

La quota zero del modello geotecnico corrisponde al piano campagna, dove sono state eseguite le prove penetrometriche. Pertanto, se la quota zero di progetto differisce sostanzialmente dalla quota del piano campagna (quota 0.0 m di riferimento delle prove geologiche) occorre prestare attenzione agli spessori e alle quote indicati nei modelli e nelle analisi del presente elaborato.

In relazione a quanto esposto nelle Nuove Norme Tecniche per le Costruzioni in zona sismica del 2018, si è proceduto alla verifica nei confronti degli stati limite ultimi (SLU). Nel nostro caso specifico, per quanto riguarda le opere di fondazione, nelle verifiche di sicurezza agli stati limite ultimi è stato calcolato lo SLU sia a breve che a lungo termine per l'intervento in progetto, utilizzando il seguente approccio di calcolo:

a) Approccio 2 combinazione (A1 + M1 + R3).

I risultati sono visibili nel § 5.2.1.

Si riassumono nella seguente tabella i valori di portanza del terreno di fondazione calcolati agli stati limite ultimi SLU relativamente alle fondazioni ipotizzate e sopra descritte.

Verifica nei confronti degli SLU		
APPROCCIO 2 – COMBINAZIONE 1		
CONDIZIONE NON DRENATE	CONDIZIONI DRENATE	CONDIZIONI SISMICHE DRENATE Paolucci & Pecker
1.63 kg/cm ² ≈ 163 kN/m ²	2.74 kg/cm ² ≈ 274 kN/m ²	2.64 kg/cm ² ≈ 264 kN/m ²

In ottemperanza della normativa tecnica nazionale (NTC 2018) e in accordo con i risultati ottenuti a seguito delle indagini geofisiche espletate per il sito in oggetto è possibile classificare il terreno di fondazione come appartenente alla **categoria C**, depositi di terreni a grana grossa mediamente addensati o a terreni a grana fina mediamente consistenti con profondità del substrato superiori a 30 m, caratterizzati da un miglioramento delle proprietà meccaniche con la profondità e da valori di velocità equivalentemente compresi tra **180 m/s** e **360 m/s**.

Per la definizione dell'azione sismica, è stato eseguito l'approfondimento di terzo livello della risposta sismica locale, che risulta **minore** rispetto al valore ottenuto mediante l'utilizzo dell'approccio semplificato delle NTC 2018. Dall'analisi così eseguita si sono ottenuti i seguenti risultati:

Parametri sismici				
	Approccio semplificato NTC18		RSL	
ag	FA	Amax	FA	Amax
0.154	1.46	0.225	1.26	0.194

È stata eseguita la verifica della suscettibilità al fenomeno della liquefazione sulla base delle prove penetrometriche CPT eseguite in sito, considerando una accelerazione massima al suolo $A_{max} = 0.225g$ (approccio semplificato -NTC18), la soggiacenza **della falda freatica è stata ipotizzata in condizioni sismiche è stata ipotizzata alla profondità $D_w = -1.00$ m e una magnitudo di riferimento pari a $M=6.14$** . Dall'analisi della suscettibilità nei confronti del fenomeno della liquefazione così eseguita si è ottenuto un valore di LPI corrispondente a un **rischio di liquefazione basso per la prova CPT2 e nullo per la prova CPT1** (§ 5.4).

A disposizione per ulteriori chiarimenti, cogliamo l'occasione per porgere cordiali saluti.

Modena, 25 febbraio 2021

Dott. Geol. Pier Luigi Dallari

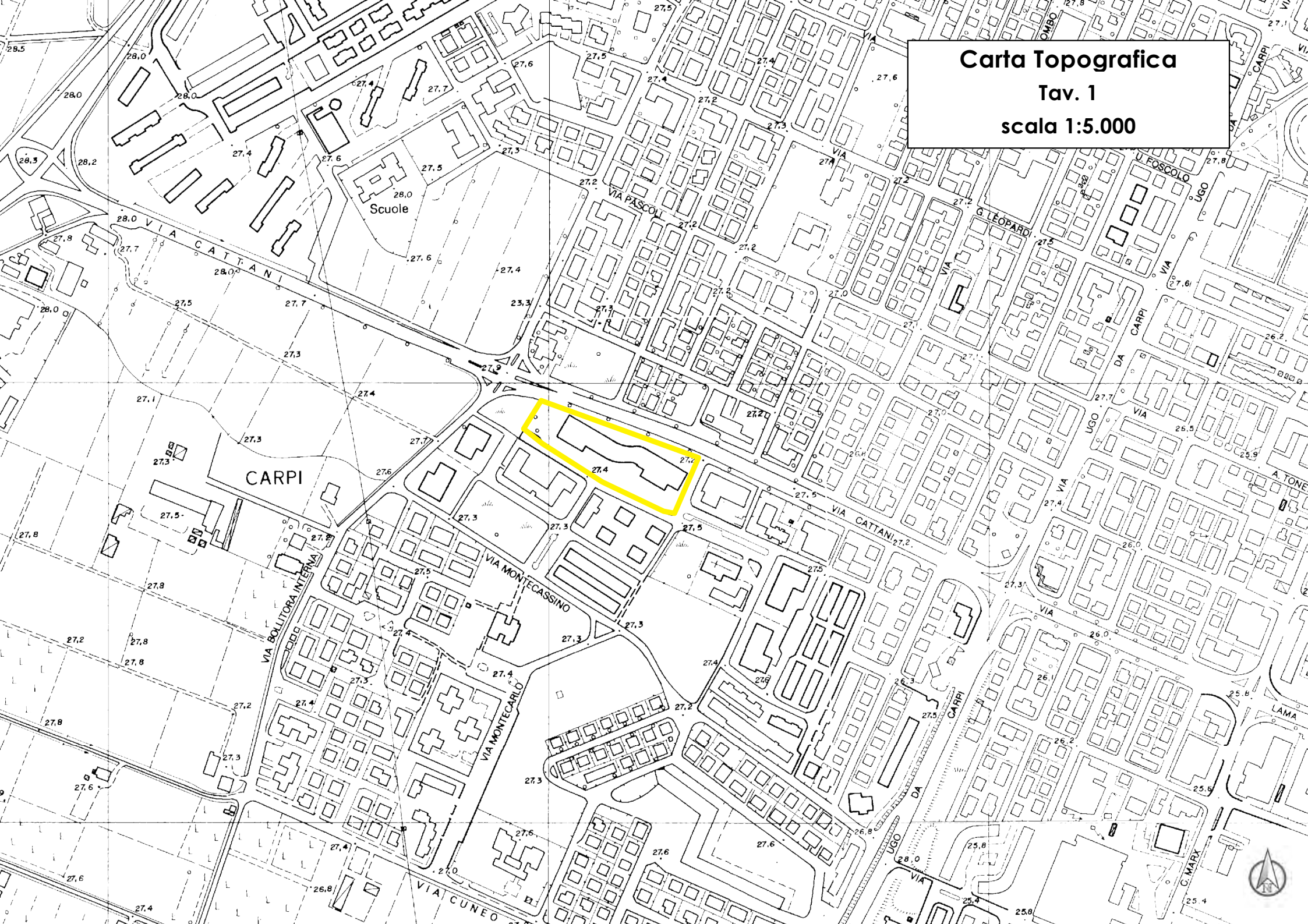


TAVOLE

Carta Topografica

Tav. 1

scala 1:5.000



Ripresa Satellitare

Tav. 2

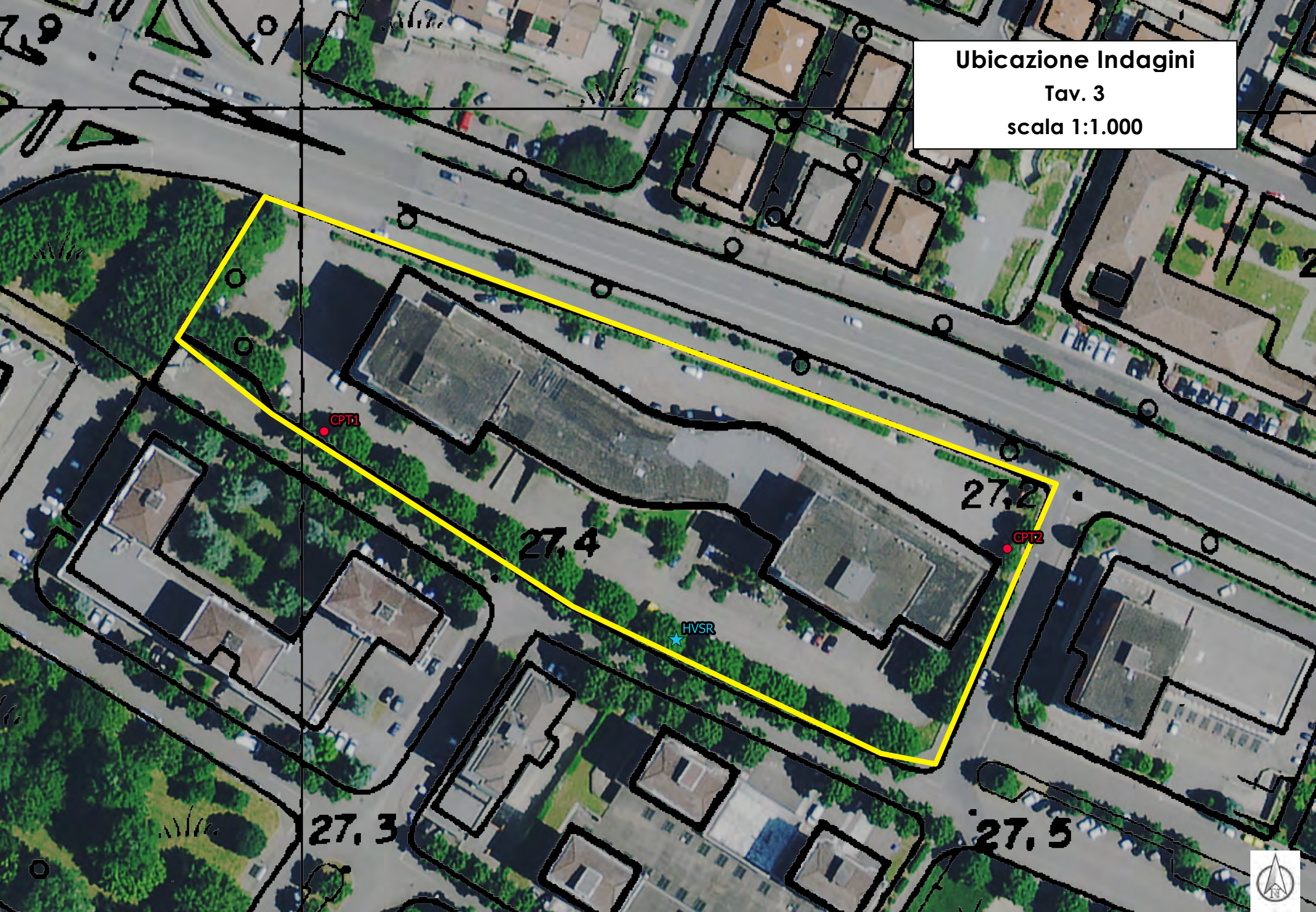
scala 1:5.000



Ubicazione Indagini
Tav. 3
scala 1:1.000

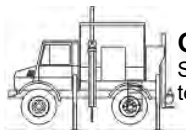
Ubicazione Indagini
Tav. 3
scala 1:1.000

Ubicazione Indagini
Tav. 3
scala 1:1.000



ALLEGATO 1

PROVE PENETROMETRICHE STATICHE CPT



LEGENDA VALORI DI RESISTENZA FATTORI DI CONVERSIONE

Strumento utilizzato:**TG63-200Stat - Pagani - Piacenza****Caratteristiche:**

- punta conica meccanica \varnothing 35.7 mm, area punta $A_p = 10 \text{ cm}^2$
- punta conica meccanica angolo di apertura: $\alpha = 60^\circ$
- manicotto laterale di attrito tipo 'Begemann' ($\varnothing = 35.7 \text{ mm} - h = 133 \text{ mm} - A_m = 150 \text{ cm}^2$)
- velocità di avanzamento costante $V = 2 \text{ cm/sec}$ ($\pm 0,5 \text{ cm / sec}$)
- spinta max nominale dello strumento S_{max} variabile a seconda del tipo
- costante di trasformazione $CT = \text{SPINTA (Kg)} / \text{LETTURA DI CAMPAGNA}$
(dato tecnico legato alle caratteristiche del penetrometro utilizzato, fornito dal costruttore)

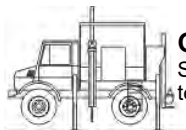
fase 1 - resistenza alla punta: $q_c \text{ (MPa)} = (L_1) \times CT / 10$ fase 2 - resistenza laterale locale: $f_s \text{ (kPa)} = [(L_2) - (L_1)] \times CT / 150$ fase 3 - resistenza totale : $R_t \text{ (kPa)} = (L_t) \times CT$

- Prima lettura = lettura di campagna durante l' infissione della sola punta (fase 1)
- Seconda lettura = lettura di campagna relativa all'infissione di punta e manicotto (fase 2)
- Terza lettura = lettura di campagna relativa all'infissione delle aste esterne (fase 3)

N.B. : la spinta $S \text{ (Kg)}$, corrispondente a ciascuna fase, si ottiene moltiplicando la corrispondente lettura di campagna L per la costante di trasformazione CT .

N.B. : nonostante la distanza intercorrente (20 cm circa) fra il centro del manicotto laterale e la punta conica del penetrometro, la resistenza laterale locale f_s viene computata alla stessa quota della punta.

CONVERSIONI1 kN (kiloNewton) = 1000 N \approx 100 kg = 0,1 t1 MN (megaNewton) = 1.000 kN = 1.000.000 N \approx 100 t1 kPa (kiloPascal) = 1 kN/m² = 0,001 MN/m² = 0,001 MPa \approx 0,1 t/m² = 0,01 kg/cm²1 MPa (megaPascal) = 1 MN/m² = 1.000 kN/m² = 1000 kPa \approx 100 t/m² = 10 kg/cm²1 kg/cm² = 10 t/m² \approx 100 kN/m² = 100 kPa = 0,1 MN/m² = 0,1 MPa1 t = 1000 kg \approx 10 kN



LEGENDA VALUTAZIONI LITOLOGICHE CORRELAZIONI GENERALI

Valutazioni in base al rapporto: $F = (q_c / f_s)$

Begemann 1965 - Raccomandazioni A.G.I. 1977

Valide in via approssimata per terreni immersi in falda :

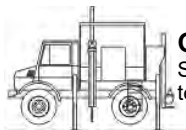
$F = q_c / f_s$	NATURA LITOLOGICA	PROPRIETA'
$F \leq 1470 \text{ kPa}$	TORBE ED ARGILLE ORGANICHE	COESIVE
$1470 \text{ kPa} < F \leq 2940 \text{ kPa}$	LIMI ED ARGILLE	COESIVE
$2940 \text{ kPa} < F \leq 5880 \text{ kPa}$	LIMI SABBIOSI E SABBIE LIMOSE	GRANULARI
$F > 5880 \text{ kPa}$	SABBIE E SABBIE CON GHIAIA	GRANULARI

**Vengono inoltre riportate le valutazioni stratigrafiche fornite da Schmertmann (1978),
ricavabili in base ai valori di q_c e di $FR = (f_s / q_c) \%$:**

- AO	= argilla organica e terreni misti
- Att	= argilla (inorganica) molto tenera
- At	= argilla (inorganica) tenera
- Am	= argilla (inorganica) di media consistenza
- Ac	= argilla (inorganica) consistente
- Acc	= argilla (inorganica) molto consistente
- ASL	= argilla sabbiosa e limosa
- SAL	= sabbia e limo / sabbia e limo argilloso
- Ss	= sabbia sciolta
- Sm	= sabbia mediamente addensata
- Sd	= sabbia densa o cementata
- SC	= sabbia con molti fossili, calcareniti

Secondo Schmertmann il valore della resistenza laterale da usarsi, dovrebbe essere pari a:

- $1/3 \pm 1/2$ di quello misurato , per depositi sabbiosi
- quello misurato (inalterato) , per depositi coesivi.

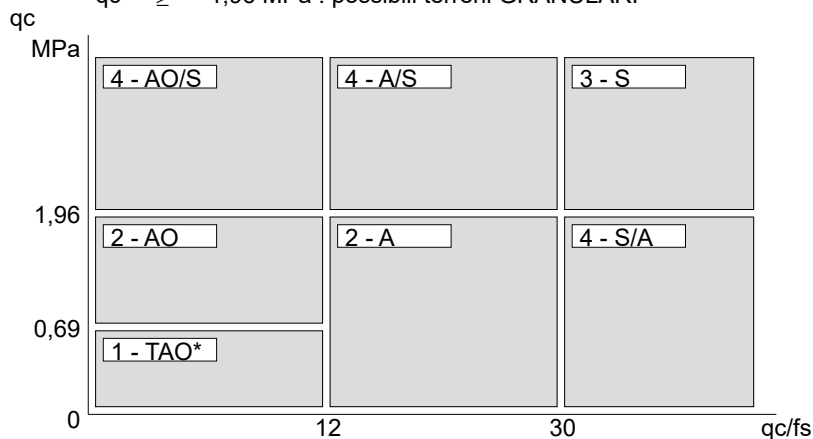


LEGENDA PARAMETRI GEOTECNICI SPECIFICHE TECNICHE

Le scelte litologiche vengono effettuate in base al rapporto q_c / f_s (Begemann 1965 - A.G.I. 1977) prevedendo altresì la possibilità di casi dubbi :

$q_c \leq 1,96 \text{ MPa}$: possibili terreni COESIVI
 $q_c \geq 1,96 \text{ MPa}$: possibili terreni GRANULARI

anche se $(q_c / f_s) > 30$
anche se $(q_c / f_s) < 30$

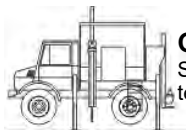


NATURA LITOLOGICA

- 1 - COESIVA (TORBOSA) ALTA COMPRIM.
- 2 - COESIVA IN GENERE
- 3 - GRANULARE
- 4 - COESIVA / GRANULARE

PARAMETRI GEOTECNICI (validità orientativa) - simboli - correlazioni - bibliografia

- γ' = peso dell' unità di volume (efficace) del terreno immerso in falda [correlaz.: $\gamma' - q_c - \text{natura}$]
(Terzaghi & Peck 1967 - Bowles 1982)
- σ'_{vo} = tensione verticale geostatica (efficace) del terreno (valutata in base ai valori di γ')
- C_u = coesione non drenata (terreni coesivi) [correlazioni : $C_u - q_c$]
- OCR = grado di sovra consolidazione (terreni coesivi) [correlazioni : OCR - $C_u - \sigma'_{vo}$]
(Ladd et al. 1972 / 1974 / 1977 - Lancellotta 1983)
- Eu = modulo di deformazione non drenato (terreni coesivi) [correl. : Eu - C_u - OCR - I_p $I_p = \text{ind.plast.}$]
Eu50 - Eu25 corrispondono rispettivamente ad un grado di mobilitazione dello sforzo deviatorico pari al 50-25% (Duncan & Buchigani 1976)
- E' = modulo di deformazione drenato (terreni granulari) [correlazioni : E' - q_c]
E'50 - E'25 corrispondono rispettivamente ad un grado di mobilitazione dello sforzo deviatorico pari al 50-25% (coeff. di sicurezza F = 2 - 4 rispettivamente)
Schmertmann 1970 / 1978 - Jamiolkowski ed altri 1983)
- Mo = modulo di deformazione edometrico (terreni coesivi e granulari) [correl. : Mo - q_c - natura]
Sanglerat 1972 - Mitchell & Gardner 1975 - Ricceri et al. 1974 - Holden 1973)
- Dr = densità relativa (terreni granulari N. C. - normalmente consolidati)
[correlazioni : Dr - $R_p - \sigma'_{vo}$ (Schmertmann 1976)]
- ϕ' = angolo di attrito interno efficace (terreni granulari N.C.) [correl. : $\phi' - D_r - q_c - \sigma'_{vo}$]
 ϕ'_{Ca} - Caquot (1948) ϕ'_{Ko} - Koppejan (1948)
 ϕ'_{DB} - De Beer (1965) ϕ'_{Sc} - Schmertmann (1978)
 ϕ'_{DM} - Durgunoglu & Mitchell (1975) (sabbie N.C.) ϕ'_{Me} - Meyerhof (1956 / 1976) (sabbie limose)
- F.L. = fattore di liquefazione (F.L.1 = Sabbie Pulite, F.L.2 = Sabbie Limose)
- Vs = velocità di propagazione delle onde sismiche (Iyisan 1996)

**GEO GROUP SRL**Sede legale: via C. Costa n. 182 - 41123 Modena
tel. 059/3967169**PROVA PENETROMETRICA STATICA MECCANICA**
LETTURE CAMPAGNA E VALORI TRASFORMATI**CPT****1**

Riferimento

022-2022Committente **STUDIO TECNICO**
Cantiere **STUDIO DEL TERRENO DI FONDAZIONE**
Località **CARPI - VIA UNIONE SOVIETICA**U.M.: **MPa**

Data esec. 14/02/2022

Pagina 1/17
Elaborato

Falda -1,80 m

H m	L1 -	L2 -	Lt -	qc MPa	fs kPa	F -	Rf %	H m	L1 -	L2 -	Lt -	qc MPa	fs kPa	F -	Rf %
0,20	0,00	0,00		0,00	0,00			15,20	19,00	32,00		1,86	87,00	22	4,6
0,40	13,00	18,00		1,27	33,00	39	2,5	15,40	17,00	29,00		1,67	80,00	21	4,7
0,60	12,00	17,00		1,18	33,00	36	2,8	15,60	17,00	29,00		1,67	80,00	21	4,7
0,80	200,00	400,00		19,60	1333,00	15	6,7	15,80	16,00	29,00		1,57	87,00	18	5,4
1,00	200,00	400,00		19,60	1333,00	15	6,7	16,00	16,00	27,00		1,57	73,00	22	4,6
1,20	20,00	37,00		1,96	113,00	18	5,7	16,20	17,00	29,00		1,67	80,00	21	4,7
1,40	30,00	60,00		2,94	200,00	15	6,7	16,40	14,00	24,00		1,37	67,00	21	4,8
1,60	23,00	51,00		2,25	187,00	12	8,1	16,60	15,00	25,00		1,47	67,00	22	4,5
1,80	21,00	49,00		2,06	187,00	11	8,9	16,80	16,00	26,00		1,57	67,00	24	4,2
2,00	16,00	31,00		1,57	100,00	16	6,3	17,00	22,00	33,00		2,16	73,00	30	3,3
2,20	14,00	24,00		1,37	67,00	21	4,8	17,20	25,00	43,00		2,45	120,00	21	4,8
2,40	16,00	23,00		1,57	47,00	34	2,9	17,40	24,00	46,00		2,35	147,00	16	6,1
2,60	14,00	25,00		1,37	73,00	19	5,2	17,60	16,00	33,00		1,57	113,00	14	7,1
2,80	15,00	22,00		1,47	47,00	32	3,1	17,80	26,00	37,00		2,55	73,00	36	2,8
3,00	10,00	17,00		0,98	47,00	21	4,7	18,00	26,00	45,00		2,55	127,00	20	4,9
3,20	8,00	17,00		0,78	60,00	13	7,5	18,20	22,00	40,00		2,16	120,00	18	5,5
3,40	10,00	15,00		0,98	33,00	30	3,3	18,40	23,00	36,00		2,25	87,00	26	3,8
3,60	15,00	21,00		1,47	40,00	38	2,7	18,60	22,00	40,00		2,16	120,00	18	5,5
3,80	17,00	27,00		1,67	67,00	25	3,9	18,80	22,00	38,00		2,16	107,00	21	4,9
4,00	14,00	22,00		1,37	53,00	26	3,8	19,00	22,00	37,00		2,16	100,00	22	4,5
4,20	10,00	15,00		0,98	33,00	30	3,3	19,20	21,00	35,00		2,06	93,00	23	4,4
4,40	13,00	19,00		1,27	40,00	33	3,1	19,40	19,00	28,00		1,86	60,00	32	3,2
4,60	13,00	19,00		1,27	40,00	33	3,1	19,60	19,00	32,00		1,86	87,00	22	4,6
4,80	16,00	23,00		1,57	47,00	34	2,9	19,80	19,00	33,00		1,86	93,00	20	4,9
5,00	16,00	24,00		1,57	53,00	30	3,3	20,00	17,00	31,00		1,67	93,00	18	5,5
5,20	12,00	23,00		1,18	73,00	16	6,1								
5,40	14,00	22,00		1,37	53,00	26	3,8								
5,60	17,00	26,00		1,67	60,00	28	3,5								
5,80	17,00	28,00		1,67	73,00	23	4,3								
6,00	21,00	34,00		2,06	87,00	24	4,1								
6,20	14,00	27,00		1,37	87,00	16	6,2								
6,40	13,00	23,00		1,27	67,00	19	5,2								
6,60	13,00	18,00		1,27	33,00	39	2,5								
6,80	10,00	21,00		0,98	73,00	14	7,3								
7,00	13,00	22,00		1,27	60,00	22	4,6								
7,20	13,00	23,00		1,27	67,00	19	5,2								
7,40	12,00	23,00		1,18	73,00	16	6,1								
7,60	16,00	29,00		1,57	87,00	18	5,4								
7,80	17,00	33,00		1,67	107,00	16	6,3								
8,00	16,00	31,00		1,57	100,00	16	6,3								
8,20	17,00	34,00		1,67	113,00	15	6,6								
8,40	17,00	35,00		1,67	120,00	14	7,1								
8,60	17,00	34,00		1,67	113,00	15	6,6								
8,80	16,00	33,00		1,57	113,00	14	7,1								
9,00	16,00	31,00		1,57	100,00	16	6,3								
9,20	17,00	33,00		1,67	107,00	16	6,3								
9,40	17,00	32,00		1,67	100,00	17	5,9								
9,60	21,00	33,00		2,06	80,00	26	3,8								
9,80	17,00	33,00		1,67	107,00	16	6,3								
10,00	14,00	27,00		1,37	87,00	16	6,2								
10,20	15,00	24,00		1,47	60,00	25	4,0								
10,40	13,00	22,00		1,27	60,00	22	4,6								
10,60	11,00	19,00		1,08	53,00	21	4,8								
10,80	15,00	23,00		1,47	53,00	28	3,5								
11,00	23,00	35,00		2,25	80,00	29	3,5								
11,20	23,00	40,00		2,25	113,00	20	4,9								
11,40	17,00	32,00		1,67	100,00	17	5,9								
11,60	9,00	20,00		0,88	73,00	12	8,1								
11,80	8,00	16,00		0,78	53,00	15	6,6								
12,00	12,00	20,00		1,18	53,00	23	4,4								
12,20	16,00	25,00		1,57	60,00	27	3,8								
12,40	22,00	34,00		2,16	80,00	28	3,6								
12,60	29,00	41,00		2,84	80,00	36	2,8								
12,80	31,00	50,00		3,04	127,00	24	4,1								
13,00	26,00	47,00		2,55	140,00	19	5,4								
13,20	27,00	46,00		2,65	127,00	21	4,7								
13,40	25,00	42,00		2,45	113,00	22	4,5								
13,60	16,00	33,00		1,57	113,00	14	7,1								
13,80	10,00	20,00		0,98	67,00	15	6,7								
14,00	15,00	24,00		1,47	60,00	25	4,0								
14,20	10,00	21,00		0,98	73,00	14	7,3								
14,40	13,00	22,00		1,27	60,00	22	4,6								
14,60	15,00	27,00		1,47	80,00	19	5,3								
14,80	22,00	34,00		2,16	80,00	28	3,6								
15,00	21,00	35,00		2,06	93,00	23	4,4								

H = profondità

L1 = prima lettura (punta)

L2 = seconda lettura (punta + laterale)

Lt = terza lettura (totale)

CT = 10,00 costante di trasformazione

qc = resistenza punta

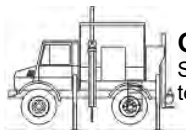
fs = resistenza laterale

alla stessa quota di qc

F = rapporto Begemann (qc / fs)

Rf = rapporto Schmertmann (fs / qc)*100

FON111

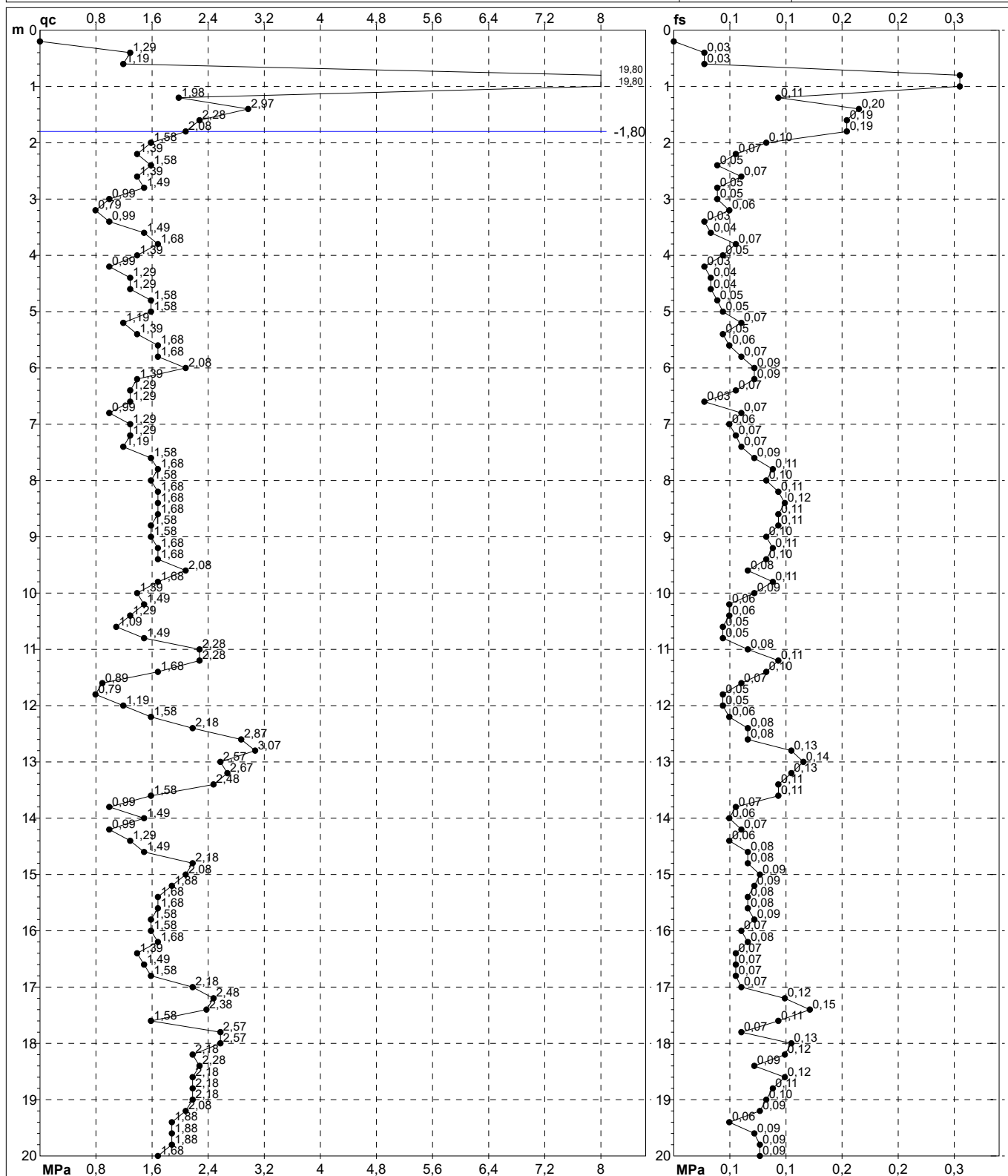
**GEO GROUP SRL**Sede legale: via C. Costa n. 182 - 41123 Modena
tel. 059/3967169

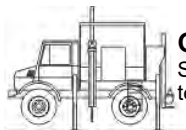
PROVA PENETROMETRICA STATICA MECCANICA

DIGRAMMI DI RESISTENZA E LITOLOGIA

CPT**1**

Riferimento

022-2022Committente **STUDIO TECNICO**
Cantiere **STUDIO DEL TERRENO DI FONDAZIONE**
Località **CARPI - VIA UNIONE SOVIETICA**U.M.: **MPa**
Scala: **1:100**
Pagina **2/17**
ElaboratoData esec. **14/02/2022**
Quota inizio:
Falda **-1,80 m**Penetrometro: **TG63-200Stat**
Responsabile:
Assistente:preforo **m**
Corr.astine: **kN/ml**
Cod. tip:



GEO GROUP SRL

Sede legale: via C. Costa n. 182 - 41123 Modena
tel. 059/3967169

PROVA PENETROMETRICA STATICA MECCANICA DIAGRAMMI LITOLOGIA

CPT

1

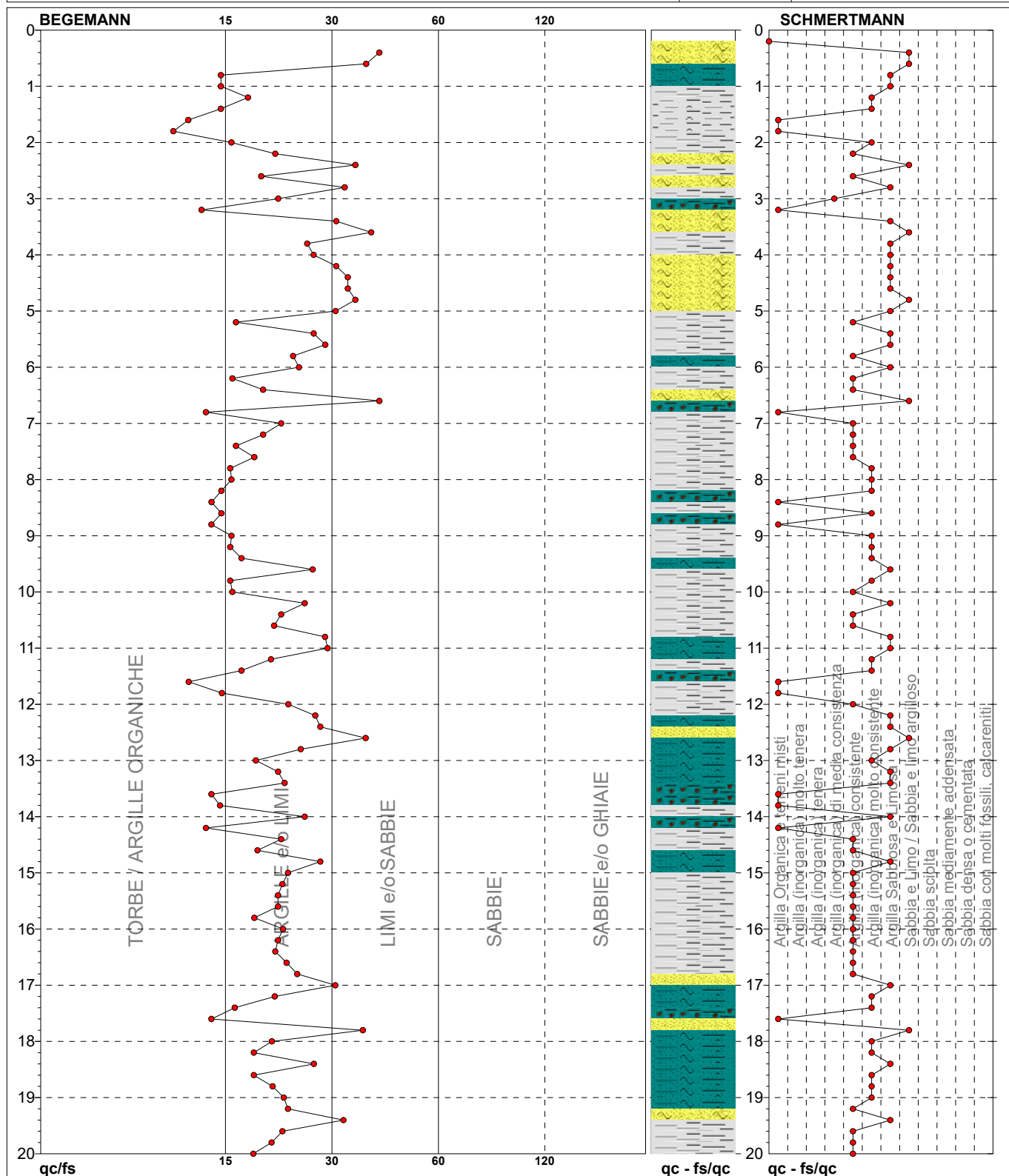
Riferimento

022-2022

Committente **STUDIO TECNICO**
Cantiere **STUDIO DEL TERRENO DI FONDAZIONE**
Località **CARPI - VIA UNIONE SOVIETICA**

U.M.: **MPa**
Scala: **1:100**
Pagina **3/17**
Elaborato

Data eseg. **14/02/2022**
Falda **-1,80 m**



TORBE / ARGILLE OR
ARGILLE e/o LIMI
LIMI e/o SABBIE

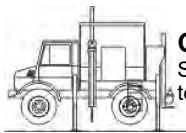
13 punti, 13,00%
71 punti, 71,00%
16 punti, 16,00%

Argilla Organica e terreni misti
Argilla (inorganica) di media consistenza
Argilla (inorganica) consistente
Argilla (inorganica) molto consistente

12 punti, 12,00%
1 punti, 1,00%
30 punti, 30,00%
21 punti, 21,00%

Argilla Sabbiosa e Limosa
Sabbia e Limo / Sabbia e limo argilloso

27 punti, 27,00%
8 punti, 8,00%

**GEO GROUP SRL**Sede legale: via C. Costa n. 182 - 41123 Modena
tel. 059/3967169

PROVA PENETROMETRICA STATICA MECCANICA

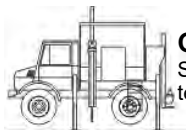
PARAMETRI GEOTECNICI

CPT**1**

Riferimento

022-2022Committente **STUDIO TECNICO**
Cantiere **STUDIO DEL TERRENO DI FONDAZIONE**
Località **CARPI - VIA UNIONE SOVIETICA**U.M.: **MPa** Data eseg. **14/02/2022**
Pagina **4/17**
Elaborato **Falda -1,80 m**

							NATURA COESIVA					NATURA GRANULARE													
H m	qc U.M.	qc/fs	zone	γ' t/m³	σ'_{vo} kPa	Vs m/s	Cu kPa	OCR %	Eu50 U.M.	Eu25 U.M.	Mo U.M.	Dr %	Sc (°)	Ca (°)	Ko (°)	DB (°)	DM (°)	Me (°)	E'50 U.M.	E'25 U.M.	Mo U.M.	FL1	FL2		
0,20	--	--	4	1,85	3,6	--	--	--	--	--	--	--	--	--	--	--	--	--	--	--	--	--	--	--	
0,40	1,27	39,39	4	1,85	7,3	145	59,3	86,7	10,1	15,1	4,6	65	39	35	33	31	40	26	2,1	3,2	3,8	--	--		
0,60	1,18	36,36	4	1,85	10,9	141	56,0	48,7	9,5	14,3	4,4	53	38	33	30	28	37	26	2,0	2,9	3,5	--	--		
0,80	19,60	15,00	4	1,85	14,5	408	653,3	99,9	111,1	166,6	58,8	100	43	46	43	40	45	38	32,7	49,0	58,8	--	--		
1,00	19,60	15,00	4	1,85	18,1	408	653,3	99,9	111,1	166,6	58,8	100	43	44	42	39	45	38	32,7	49,0	58,8	--	--		
1,20	1,96	17,70	4	1,85	21,8	171	78,4	31,2	13,3	20,0	5,9	53	38	32	29	27	36	27	3,3	4,9	5,9	--	--		
1,40	2,94	15,00	4	1,85	25,4	199	98,0	34,0	16,7	25,0	8,8	64	39	33	31	29	38	29	4,9	7,4	8,8	--	--		
1,60	2,25	12,30	4	1,85	29,0	180	85,1	24,1	14,5	21,7	6,8	51	37	31	28	27	36	28	3,8	5,6	6,8	--	--		
1,80	2,06	11,23	4	0,93	30,8	174	80,7	20,9	13,7	20,6	6,2	47	37	31	28	26	35	27	3,4	5,1	6,2	--	--		
2,00	1,57	16,00	2	0,96	32,7	157	68,2	15,7	11,6	17,4	5,1	--	--	--	--	--	--	--	--	--	--	--	--		
2,20	1,37	20,90	2	0,94	34,6	150	62,4	13,1	10,6	15,9	4,7	--	--	--	--	--	--	--	--	--	--	--	--		
2,40	1,57	34,04	4	0,90	36,3	157	68,2	13,8	11,6	17,4	5,1	33	35	28	25	24	32	27	2,6	3,9	4,7	--	--		
2,60	1,37	19,18	2	0,94	38,2	150	62,4	11,6	10,6	15,9	4,7	--	--	--	--	--	--	--	--	--	--	--	--		
2,80	1,47	31,91	4	0,89	39,9	154	65,3	11,6	11,1	16,7	4,9	29	35	28	25	23	31	27	2,5	3,7	4,4	--	--		
3,00	0,98	21,28	2	0,90	41,7	132	49,0	7,7	10,1	15,2	3,9	--	--	--	--	--	--	--	--	--	--	--	--		
3,20	0,78	13,33	2	0,86	43,4	121	39,2	5,5	11,7	17,6	3,4	--	--	--	--	--	--	--	--	--	--	--	--		
3,40	0,98	30,30	4	0,86	45,1	132	49,0	7,0	11,3	17,0	3,9	12	33	25	22	21	28	26	1,6	2,5	2,9	--	--		
3,60	1,47	37,50	4	0,89	46,8	154	65,3	9,5	11,2	16,9	4,9	25	34	27	24	22	31	27	2,5	3,7	4,4	--	--		
3,80	1,67	25,37	2	0,97	48,7	161	70,9	10,0	12,1	18,1	5,3	--	--	--	--	--	--	--	--	--	--	--	--		
4,00	1,37	26,42	2	0,94	50,6	150	62,4	8,2	12,1	18,1	4,7	--	--	--	--	--	--	--	--	--	--	--	--		
4,20	0,98	30,30	4	0,86	52,3	132	49,0	5,8	14,0	21,0	3,9	8	32	24	21	20	28	26	1,6	2,5	2,9	--	--		
4,40	1,27	32,50	4	0,88	54,0	145	59,3	7,1	13,5	20,3	4,6	16	33	25	22	21	29	26	2,1	3,2	3,8	--	--		
4,60	1,27	32,50	4	0,88	55,7	145	59,3	6,8	14,1	21,2	4,6	16	33	25	22	21	29	26	2,1	3,2	3,8	--	--		
4,80	1,57	34,04	4	0,90	57,5	157	68,2	7,8	13,9	20,9	5,1	22	34	26	23	22	30	27	2,6	3,9	4,7	--	--		
5,00	1,57	30,19	4	0,90	59,2	157	68,2	7,5	14,5	21,8	5,1	21	34	26	23	21	30	27	2,6	3,9	4,7	--	--		
5,20	1,18	16,44	2	0,92	61,0	141	56,0	5,6	16,4	24,7	4,4	--	--	--	--	--	--	--	--	--	--	--	--		
5,40	1,37	26,42	2	0,94	62,9	150	62,4	6,2	16,5	24,7	4,7	--	--	--	--	--	--	--	--	--	--	--	--		
5,60	1,67	28,33	2	0,97	64,8	161	70,9	7,0	16,2	24,3	5,3	--	--	--	--	--	--	--	--	--	--	--	--		
5,80	1,67	23,29	2	0,97	66,7	161	70,9	6,8	16,9	25,4	5,3	--	--	--	--	--	--	--	--	--	--	--	--		
6,00	2,06	24,14	4	0,93	68,5	174	80,7	7,7	16,6	24,9	6,2	27	35	27	23	22	30	27	3,4	5,1	6,2	--	--		
6,20	1,37	16,09	2	0,94	70,3	150	62,4	5,4	19,1	28,7	4,7	--	--	--	--	--	--	--	--	--	--	--	--		
6,40	1,27	19,40	2	0,93	72,2	145	59,3	4,9	20,0	30,0	4,6	--	--	--	--	--	--	--	--	--	--	--	--		
6,60	1,27	39,39	4	0,88	73,9	145	59,3	4,8	20,5	30,8	4,6	9	32	24	21	19	27	26	2,1	3,2	3,8	--	--		
6,80	0,98	13,70	2	0,90	75,7	132	49,0	3,6	21,4	32,0	3,9	--	--	--	--	--	--	--	--	--	--	--	--		
7,00	1,27	21,67	2	0,93	77,5	145	59,3	4,5	21,6	32,4	4,6	--	--	--	--	--	--	--	--	--	--	--	--		
7,20	1,27	19,40	2	0,93	79,3	145	59,3	4,4	22,1	33,2	4,6	--	--	--	--	--	--	--	--	--	--	--	--		
7,40	1,18	16,44	2	0,92	81,1	141	56,0	4,0	22,7	34,0	4,4	--	--	--	--	--	--	--	--	--	--	--	--		
7,60	1,57	18,39	2	0,96	83,0	157	68,2	4,9	23,0	34,4	5,1	--	--	--	--	--	--	--	--	--	--	--	--		
7,80	1,67	15,89	2	0,97	84,9	161	70,9	5,0	23,4	35,1	5,3	--	--	--	--	--	--	--	--	--	--	--	--		
8,00	1,57	16,00	2	0,96	86,8	157	68,2	4,6	24,1	36,2	5,1	--	--	--	--	--	--	--	--	--	--	--	--		
8,20	1,67	15,04	2	0,97	88,7	161	70,9	4,7	24,6	36,9	5,3	--	--	--	--	--	--	--	--	--	--	--	--		
8,40	1,67	14,17	2	0,97	90,6	161	70,9	4,6	25,2	37,8	5,3	--	--	--	--	--	--	--	--	--	--	--	--		
8,60	1,67	15,04	2	0,97	92,5	161	70,9	4,5	25,8	38,7	5,3	--	--	--	--	--	--	--	--	--	--	--	--		
8,80	1,57	14,16	2	0,96	94,4	157	68,2	4,2	26,4	39,5	5,1	--	--	--	--	--	--	--	--	--	--	--	--		
9,00	1,57	16,00	2	0,96	96,2	157	68,2	4,1	26,9	40,3	5,1	--	--	--	--	--	--	--	--	--	--	--	--		
9,20	1,67	15,89	2	0,97	98,1	161	70,9	4,2	27,4	41,1	5,3	--	--	--	--	--	--	--	--	--	--	--	--		
9,40	1,67	17,00	2	0,97	100,0	161	70,9	4,1	27,9	41,9	5,3	--	--	--	--	--	--	--	--	--	--	--	--		
9,60	2,06	26,25	4	0,93	101,9	174	80,7	4,7	28,3	42,5	6,2	17	33	25	21	20	28	27	3,4	5,1	6,2	--	--		
9,80	1,67	15,89	2	0,97	103,8	161	70,9	3,9	29,1	43,7	5,3	--	--	--	--	--	--	--	--	--	--	--	--		
10,00	1,37	16,09	2	0,94	105,6	150	62,4	3,3	29,5	44,2	4,7	--	--	--	--	--	--	--	--	--	--	--	--		
10,20	1,47	25,00	2	0,95	107,5	154	65,3	3,4	30,2	45,3	4,9	--	--	--	--	--	--	--	--	--	--	--	--		
10,40	1,27	21,67	2	0,93	109,3	145	59,3	2,9	29,6	44,4	4,6	--	--	--	--	--	--	--	--	--	--	--	--		
10,60	1,08	20,75	2	0,91	111,1	137	52,6	2,5	28,0	42,0	4,2	--	--	--	--	--	--	--	--	--	--	--	--		
10,80	1,47	28,30	2	0,95	112,9	154	65,3	3,2	31,3	47,0	4,9	--	--	--	--	--	--	--	--	--	--	--	--		
11,00	2,25	28,75	4	0,94	114,8	180	85,1	4,3	32,1	48,1	6,8	18	33	25	21	20	28	28	3,8	5,6	6,8	--	--		
11,20	2,25	20,35	4	0,94	116,6	180	85,1	4,2	32,6	48,9	6,8	17	33	24	21	20	28	28	3,8	5,6	6,8	--	--		
11,40	1,67	17,00	2	0,97	118,5	161	70,9	3,3	33,2	49,8	5,3	--	--	--	--	--	--	--	--	--	--	--	--		
11,60	0,88	12,33	2	0,88	120,2	127	44,1	1,8	25,2	37,7	3,7	--	--	--	--	--	--	--	--	--	--	--	--		
11,80	0,78	15,09	2	0,86	121,9	12																			

**GEO GROUP SRL**Sede legale: via C. Costa n. 182 - 41123 Modena
tel. 059/3967169**PROVA PENETROMETRICA STATICA MECCANICA**
LETTURE CAMPAGNA E VALORI TRASFORMATI**CPT****2**

Riferimento

022-2022Committente **STUDIO TECNICO**
Cantiere **STUDIO DEL TERRENO DI FONDAZIONE**
Località **CARPI - VIA UNIONE SOVIETICA**U.M.: **MPa**

Data esec. 14/02/2022

Pagina 1/17
Elaborato

Falda -1,80 m

H m	L1 -	L2 -	Lt -	qc MPa	fs kPa	F -	Rf %	H m	L1 -	L2 -	Lt -	qc MPa	fs kPa	F -	Rf %
0,20	0,00	0,00		0,00	0,00			15,20	14,00	25,00		1,37	73,00	19	5,2
0,40	129,00	140,00		12,64	73,00	177	0,6	15,40	15,00	23,00		1,47	53,00	28	3,5
0,60	76,00	137,00		7,45	407,00	19	5,4	15,60	15,00	27,00		1,47	80,00	19	5,3
0,80	76,00	124,00		7,45	320,00	24	4,2	15,80	15,00	26,00		1,47	73,00	21	4,9
1,00	62,00	96,00		6,08	227,00	27	3,7	16,00	16,00	28,00		1,57	80,00	20	5,0
1,20	26,00	69,00		2,55	287,00	9	11,0	16,20	16,00	28,00		1,57	80,00	20	5,0
1,40	12,00	30,00		1,18	120,00	10	10,0	16,40	15,00	25,00		1,47	67,00	22	4,5
1,60	10,00	19,00		0,98	60,00	17	6,0	16,60	17,00	25,00		1,67	53,00	32	3,1
1,80	7,00	12,00		0,69	33,00	21	4,7	16,80	21,00	33,00		2,06	80,00	26	3,8
2,00	14,00	17,00		1,37	20,00	70	1,4	17,00	23,00	37,00		2,25	93,00	25	4,0
2,20	11,00	16,00		1,08	33,00	33	3,0	17,20	22,00	38,00		2,16	107,00	21	4,9
2,40	13,00	18,00		1,27	33,00	39	2,5	17,40	16,00	29,00		1,57	87,00	18	5,4
2,60	13,00	20,00		1,27	47,00	28	3,6	17,60	16,00	27,00		1,57	73,00	22	4,6
2,80	16,00	23,00		1,57	47,00	34	2,9	17,80	27,00	33,00		2,65	40,00	68	1,5
3,00	13,00	22,00		1,27	60,00	22	4,6	18,00	27,00	42,00		2,65	100,00	27	3,7
3,20	12,00	19,00		1,18	47,00	26	3,9	18,20	17,00	37,00		1,67	133,00	13	7,8
3,40	11,00	19,00		1,08	53,00	21	4,8	18,40	20,00	33,00		1,96	87,00	23	4,4
3,60	10,00	18,00		0,98	53,00	19	5,3	18,60	18,00	30,00		1,76	80,00	23	4,4
3,80	10,00	17,00		0,98	47,00	21	4,7	18,80	21,00	35,00		2,06	93,00	23	4,4
4,00	16,00	23,00		1,57	47,00	34	2,9	19,00	19,00	34,00		1,86	100,00	19	5,3
4,20	14,00	23,00		1,37	60,00	23	4,3	19,20	19,00	32,00		1,86	87,00	22	4,6
4,40	12,00	21,00		1,18	60,00	20	5,0	19,40	20,00	35,00		1,96	100,00	20	5,0
4,60	10,00	16,00		0,98	40,00	25	4,0	19,60	22,00	33,00		2,16	73,00	30	3,3
4,80	12,00	17,00		1,18	33,00	36	2,8	19,80	21,00	34,00		2,06	87,00	24	4,1
5,00	14,00	21,00		1,37	47,00	30	3,4	20,00	23,00	37,00		2,25	93,00	25	4,0
5,20	16,00	24,00		1,57	53,00	30	3,3								
5,40	14,00	21,00		1,37	47,00	30	3,4								
5,60	15,00	24,00		1,47	60,00	25	4,0								
5,80	17,00	27,00		1,67	67,00	25	3,9								
6,00	22,00	35,00		2,16	87,00	25	4,0								
6,20	23,00	35,00		2,25	80,00	29	3,5								
6,40	16,00	29,00		1,57	87,00	18	5,4								
6,60	17,00	31,00		1,67	93,00	18	5,5								
6,80	14,00	27,00		1,37	87,00	16	6,2								
7,00	11,00	25,00		1,08	93,00	12	8,5								
7,20	12,00	20,00		1,18	53,00	23	4,4								
7,40	11,00	19,00		1,08	53,00	21	4,8								
7,60	14,00	23,00		1,37	60,00	23	4,3								
7,80	16,00	26,00		1,57	67,00	24	4,2								
8,00	14,00	25,00		1,37	73,00	19	5,2								
8,20	14,00	24,00		1,37	67,00	21	4,8								
8,40	14,00	24,00		1,37	67,00	21	4,8								
8,60	14,00	25,00		1,37	73,00	19	5,2								
8,80	12,00	23,00		1,18	73,00	16	6,1								
9,00	12,00	20,00		1,18	53,00	23	4,4								
9,20	10,00	19,00		0,98	60,00	17	6,0								
9,40	9,00	17,00		0,88	53,00	17	5,9								
9,60	13,00	25,00		1,27	80,00	16	6,2								
9,80	9,00	23,00		0,88	93,00	10	10,3								
10,00	16,00	25,00		1,57	60,00	27	3,8								
10,20	13,00	23,00		1,27	67,00	19	5,2								
10,40	16,00	26,00		1,57	67,00	24	4,2								
10,60	19,00	30,00		1,86	73,00	26	3,8								
10,80	21,00	36,00		2,06	100,00	21	4,8								
11,00	19,00	33,00		1,86	93,00	20	4,9								
11,20	15,00	31,00		1,47	107,00	14	7,1								
11,40	19,00	31,00		1,86	80,00	24	4,2								
11,60	20,00	32,00		1,96	80,00	25	4,0								
11,80	19,00	35,00		1,86	107,00	18	5,6								
12,00	21,00	34,00		2,06	87,00	24	4,1								
12,20	14,00	27,00		1,37	87,00	16	6,2								
12,40	15,00	25,00		1,47	67,00	22	4,5								
12,60	15,00	29,00		1,47	93,00	16	6,2								
12,80	22,00	33,00		2,16	73,00	30	3,3								
13,00	26,00	39,00		2,55	87,00	30	3,3								
13,20	23,00	45,00		2,25	147,00	16	6,4								
13,40	23,00	41,00		2,25	120,00	19	5,2								
13,60	19,00	37,00		1,86	120,00	16	6,3								
13,80	14,00	30,00		1,37	107,00	13	7,6								
14,00	13,00	26,00		1,27	87,00	15	6,7								
14,20	13,00	21,00		1,27	53,00	25	4,1								
14,40	13,00	19,00		1,27	40,00	33	3,1								
14,60	16,00	24,00		1,57	53,00	30	3,3								
14,80	17,00	29,00		1,67	80,00	21	4,7								
15,00	15,00	31,00		1,47	107,00	14	7,1								

H = profondità

L1 = prima lettura (punta)

L2 = seconda lettura (punta + laterale)

Lt = terza lettura (totale)

CT = 10,00 costante di trasformazione

qc = resistenza punta

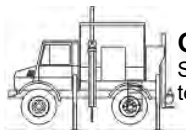
fs = resistenza laterale

alla stessa quota di qc

F = rapporto Begemann (qc / fs)

Rf = rapporto Schmertmann (fs / qc)*100

FON111

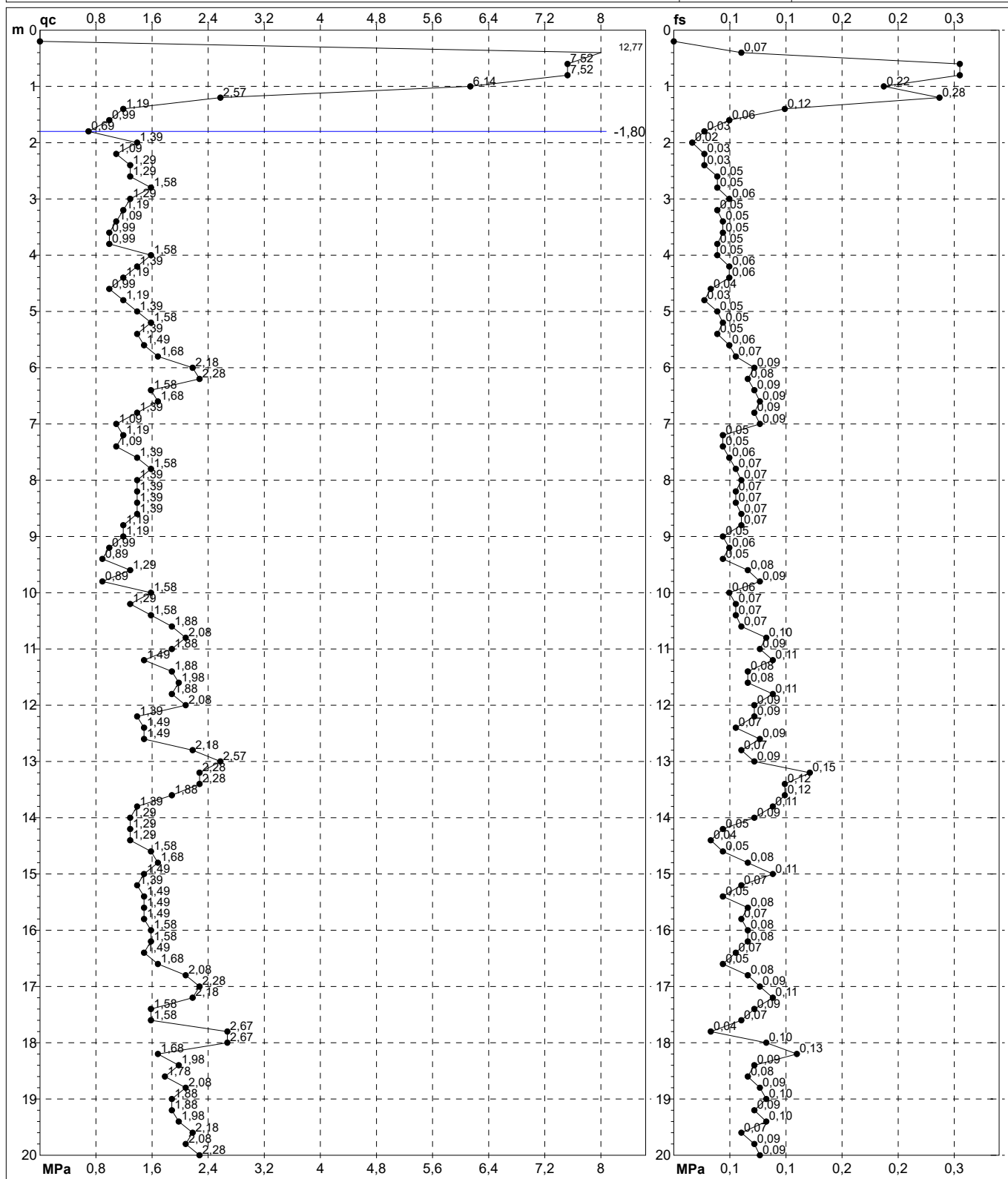
**GEO GROUP SRL**Sede legale: via C. Costa n. 182 - 41123 Modena
tel. 059/3967169

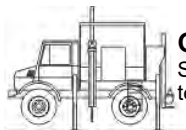
PROVA PENETROMETRICA STATICA MECCANICA

DIGRAMMI DI RESISTENZA E LITOLOGIA

CPT**2**

Riferimento

022-2022Committente **STUDIO TECNICO**
Cantiere **STUDIO DEL TERRENO DI FONDAZIONE**
Località **CARPI - VIA UNIONE SOVIETICA**U.M.: **MPa**
Scala: **1:100**
Pagina **2/17**
ElaboratoData esec. **14/02/2022**
Quota inizio:
Falda **-1,80 m**Penetrometro: **TG63-200Stat**
Responsabile:
Assistente:preforo **m**
Corr.astine: **kN/ml**
Cod. tip:



GEO GROUP SRL

Sede legale: via C. Costa n. 182 - 41123 Modena
tel. 059/3967169

PROVA PENETROMETRICA STATICA MECCANICA DIAGRAMMI LITOLOGIA

CPT

2

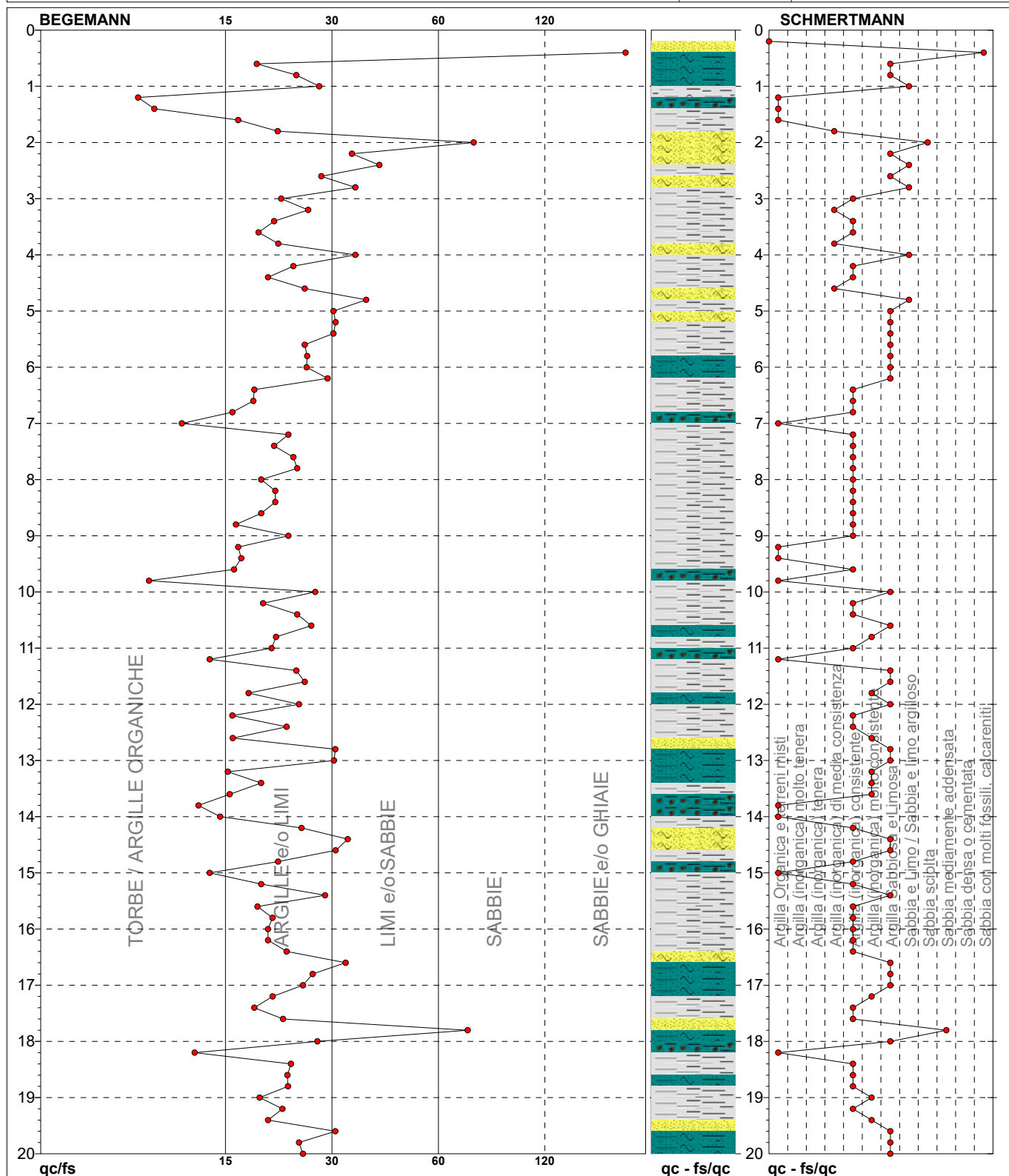
Riferimento

022-2022

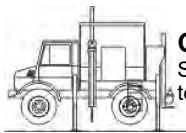
Committente **STUDIO TECNICO**
Cantiere **STUDIO DEL TERRENO DI FONDAZIONE**
Località **CARPI - VIA UNIONE SOVIETICA**

U.M.: **MPa**
Scala: **1:100**
Pagina **3/17**
Elaborato

Data eseg. **14/02/2022**
Falda **-1,80 m**



TORBE / ARGILLE OR	10 punti, 10,00%	Argilla Organica e terreni misti	12 punti, 12,00%	Argilla Sabbiosa e Limosa	28 punti, 28,00%
ARGILLE e/o LIMI	76 punti, 76,00%	Argilla (inorganica) di media consistenza	4 punti, 4,00%	Sabbia e Limo / Sabbia e limo argilloso	5 punti, 5,00%
LIMI e/o SABBIE	11 punti, 11,00%	Argilla (inorganica) consistente	38 punti, 38,00%	Sabbia sciolta	1 punti, 1,00%
SABBIE	2 punti, 2,00%	Argilla (inorganica) molto consistente	9 punti, 9,00%	Sabbia mediamente addensata	1 punti, 1,00%
SABBIE e/o GHIAIE	1 punti, 1,00%			Sabbia con molti fossili, calcareniti	1 punti, 1,00%

**GEO GROUP SRL**Sede legale: via C. Costa n. 182 - 41123 Modena
tel. 059/3967169

PROVA PENETROMETRICA STATICA MECCANICA

PARAMETRI GEOTECNICI

CPT**2**

Riferimento

022-2022Committente **STUDIO TECNICO**
Cantiere **STUDIO DEL TERRENO DI FONDAZIONE**
Località **CARPI - VIA UNIONE SOVIETICA**U.M.: **MPa** Data eseg. **14/02/2022**
Pagina **4/17**
Elaborato **Falda -1,80 m**

NATURA COESIVA												NATURA GRANULARE											
H	qc	qc/fs	zone	γ'	σ'_{vo}	Vs	Cu	OCR	Eu50	Eu25	Mo	Dr	Sc	Ca	Ko	DB	DM	Me	E'50	E'25	Mo	FL1	FL2
m	U.M.			t/m³	kPa	m/s	kPa	%	U.M.	U.M.	U.M.	%	(°)	(°)	(°)	(°)	(°)	(°)	U.M.	U.M.	U.M.		
0,20	--	--	3	1,85	3,6	--	--	--	--	--	--	--	--	--	--	--	--	--	--	--	--	--	--
0,40	12,64	176,71	3	1,85	7,3	345	--	--	--	--	--	100	43	47	45	41	45	35	21,1	31,6	37,9	--	--
0,60	7,45	18,67	4	1,85	10,9	283	248,3	99,9	42,2	63,3	22,3	100	43	42	40	37	45	33	12,4	18,6	22,3	--	--
0,80	7,45	23,75	4	1,85	14,5	283	248,3	99,9	42,2	63,3	22,3	100	43	41	38	36	44	33	12,4	18,6	22,3	--	--
1,00	6,08	27,31	4	1,85	18,1	262	202,5	99,9	34,4	51,6	18,2	97	43	39	36	34	42	32	10,1	15,2	18,2	--	--
1,20	2,55	9,06	4	1,85	21,8	189	91,0	37,6	15,5	23,2	7,6	62	39	33	31	29	38	28	4,2	6,4	7,6	--	--
1,40	1,18	10,00	2	1,85	25,4	141	56,0	16,9	9,5	14,3	4,4	--	--	--	--	--	--	--	--	--	--	--	
1,60	0,98	16,67	2	1,85	29,0	132	49,0	12,1	8,3	12,5	3,9	--	--	--	--	--	--	--	--	--	--	--	
1,80	0,69	21,21	2	0,84	30,7	115	34,3	7,2	7,6	11,4	3,2	--	--	--	--	--	--	--	--	--	--	--	
2,00	1,37	70,00	4	0,89	32,4	150	62,4	14,2	10,6	15,9	4,7	31	35	28	25	24	32	26	2,3	3,4	4,1	--	--
2,20	1,08	33,33	4	0,87	34,1	137	52,6	10,8	8,9	13,4	4,2	22	34	27	24	22	31	26	1,8	2,7	3,2	--	--
2,40	1,27	39,39	4	0,88	35,8	145	59,3	11,8	10,1	15,1	4,6	26	34	28	24	23	31	26	2,1	3,2	3,8	--	--
2,60	1,27	27,66	2	0,93	37,6	145	59,3	11,1	10,1	15,1	4,6	--	--	--	--	--	--	--	--	--	--	--	--
2,80	1,57	34,04	4	0,90	39,4	157	68,2	12,5	11,6	17,4	5,1	31	35	28	25	23	32	27	2,6	3,9	4,7	--	--
3,00	1,27	21,67	2	0,93	41,2	145	59,3	9,9	10,1	15,1	4,6	--	--	--	--	--	--	--	--	--	--	--	--
3,20	1,18	25,53	2	0,92	43,0	141	56,0	8,7	10,2	15,3	4,4	--	--	--	--	--	--	--	--	--	--	--	--
3,40	1,08	20,75	2	0,91	44,8	137	52,6	7,7	10,9	16,3	4,2	--	--	--	--	--	--	--	--	--	--	--	--
3,60	0,98	18,87	2	0,90	46,6	132	49,0	6,7	11,9	17,8	3,9	--	--	--	--	--	--	--	--	--	--	--	--
3,80	0,98	21,28	2	0,90	48,3	132	49,0	6,4	12,5	18,8	3,9	--	--	--	--	--	--	--	--	--	--	--	--
4,00	1,57	34,04	4	0,90	50,1	157	68,2	9,2	11,9	17,9	5,1	25	34	27	24	22	30	27	2,6	3,9	4,7	--	--
4,20	1,37	23,33	2	0,94	51,9	150	62,4	7,9	12,5	18,8	4,7	--	--	--	--	--	--	--	--	--	--	--	--
4,40	1,18	20,00	2	0,92	53,8	141	56,0	6,6	13,8	20,7	4,4	--	--	--	--	--	--	--	--	--	--	--	--
4,60	0,98	25,00	2	0,90	55,5	132	49,0	5,4	15,1	22,7	3,9	--	--	--	--	--	--	--	--	--	--	--	--
4,80	1,18	36,36	4	0,88	57,2	141	56,0	6,1	15,1	22,6	4,4	12	33	25	22	20	28	26	2,0	2,9	3,5	--	--
5,00	1,37	29,79	2	0,94	59,1	150	62,4	6,7	15,0	22,6	4,7	--	--	--	--	--	--	--	--	--	--	--	--
5,20	1,57	30,19	4	0,90	60,8	157	68,2	7,2	15,1	22,6	5,1	21	34	26	23	21	29	27	2,6	3,9	4,7	--	--
5,40	1,37	29,79	2	0,94	62,7	150	62,4	6,2	16,4	24,6	4,7	--	--	--	--	--	--	--	--	--	--	--	--
5,60	1,47	25,00	2	0,95	64,5	154	65,3	6,4	16,7	25,1	4,9	--	--	--	--	--	--	--	--	--	--	--	--
5,80	1,67	25,37	2	0,97	66,4	161	70,9	6,8	16,8	25,3	5,3	--	--	--	--	--	--	--	--	--	--	--	--
6,00	2,16	25,29	4	0,93	68,3	177	82,9	8,0	16,4	24,6	6,5	29	35	27	24	22	31	28	3,6	5,4	6,5	--	--
6,20	2,25	28,75	4	0,94	70,1	180	85,1	8,0	16,8	25,3	6,8	30	35	27	24	22	31	28	3,8	5,6	6,8	--	--
6,40	1,57	18,39	2	0,96	72,0	157	68,2	5,9	19,2	28,8	5,1	--	--	--	--	--	--	--	--	--	--	--	--
6,60	1,67	18,28	2	0,97	73,9	161	70,9	6,0	19,6	29,4	5,3	--	--	--	--	--	--	--	--	--	--	--	--
6,80	1,37	16,09	2	0,94	75,7	150	62,4	4,9	20,9	31,4	4,7	--	--	--	--	--	--	--	--	--	--	--	--
7,00	1,08	11,83	2	0,91	77,5	137	52,6	3,9	21,8	32,7	4,2	--	--	--	--	--	--	--	--	--	--	--	--
7,20	1,18	22,64	2	0,92	79,3	141	56,0	4,1	22,1	33,2	4,4	--	--	--	--	--	--	--	--	--	--	--	--
7,40	1,08	20,75	2	0,91	81,1	137	52,6	3,7	22,9	34,3	4,2	--	--	--	--	--	--	--	--	--	--	--	--
7,60	1,37	23,33	2	0,94	82,9	150	62,4	4,4	23,2	34,7	4,7	--	--	--	--	--	--	--	--	--	--	--	--
7,80	1,57	23,88	2	0,96	84,8	157	68,2	4,8	23,5	35,3	5,1	--	--	--	--	--	--	--	--	--	--	--	--
8,00	1,37	19,18	2	0,94	86,7	150	62,4	4,2	24,2	36,3	4,7	--	--	--	--	--	--	--	--	--	--	--	--
8,20	1,37	20,90	2	0,94	88,5	150	62,4	4,1	24,7	37,1	4,7	--	--	--	--	--	--	--	--	--	--	--	--
8,40	1,37	20,90	2	0,94	90,4	150	62,4	3,9	25,3	37,9	4,7	--	--	--	--	--	--	--	--	--	--	--	--
8,60	1,37	19,18	2	0,94	92,2	150	62,4	3,9	25,9	38,9	4,7	--	--	--	--	--	--	--	--	--	--	--	--
8,80	1,18	16,44	2	0,92	94,0	141	56,0	3,3	26,3	39,4	4,4	--	--	--	--	--	--	--	--	--	--	--	--
9,00	1,18	22,64	2	0,92	95,8	141	56,0	3,2	26,7	40,0	4,4	--	--	--	--	--	--	--	--	--	--	--	--
9,20	0,98	16,67	2	0,90	97,6	132	49,0	2,7	25,5	38,2	3,9	--	--	--	--	--	--	--	--	--	--	--	--
9,40	0,88	16,98	2	0,88	99,3	127	44,1	2,3	24,0	36,0	3,7	--	--	--	--	--	--	--	--	--	--	--	--
9,60	1,27	16,25	2	0,93	101,1	145	59,3	3,2	28,2	42,2	4,6	--	--	--	--	--	--	--	--	--	--	--	--
9,80	0,88	9,68	2	0,88	102,8	127	44,1	2,2	24,3	36,4	3,7	--	--	--	--	--	--	--	--	--	--	--	--
10,00	1,57	26,67	2	0,96	104,7	157	68,2	3,7	29,6	44,3	5,1	--	--	--	--	--	--	--	--	--	--	--	--
10,20	1,27	19,40	2	0,93	106,5	145	59,3	3,0	29,2	43,7	4,6	--	--	--	--	--	--	--	--	--	--	--	--
10,40	1,57	23,88	2	0,96	108,4	157	68,2	3,5	30,6	45,9	5,1	--	--	--	--	--	--	--	--	--	--	--	--
10,60	1,86	26,03	2	0,99	110,4	168	76,0	3,9	30,9	46,3	5,7	--	--	--	--	--	--	--	--	--	--	--	--
10,80	2,06	21,00	4	0,93	112,2	174	80,7	4,2	31,3	47,0	6,2	15	33	24	21	20	28	27	3,4	5,1	6,2	--	--
11,00	1,86	20,43	2	0,99	114,1	168	76,0	3,8	32,2	48,2	5,7	--	--	--	--	--	--	--	--	--	--	--	--
11,20	1,47	14,02	2	0,95	116,0	154	65,3	3,1	31,9	47,8	4,9	--	--	--	--	--	--	--	--	--	--	--	--
11,40	1,86	23,75	2	0,99	117,9	168	76,0	3,6	33,3	49,9	5,7	--	--	--	--	--	--	--	--	--	--	--	--
11,60	1,96	25,00	4	0,93	119,7	171	78,4	3,7	33,8	50,7	5,9	12	33	24	20	19	27	27	3,3	4,9	5,9	--	--
11,80	1,86	17,76	2	0,99	121,7	168	76,0	3,5	34,3														

ALLEGATO 2

VERIFICHE GEOTECNICHE

DATI GENERALI

Larghezza fondazione	1.5 m
Lunghezza fondazione	5.0 m
Profondità piano di posa	3.5 m
Profondità falda	1.8

STRATIGRAFIA TERRENO

Spessor e strato [m]	Peso unità di volume [kN/m ³]	Peso unità di volume saturato [kN/m ³]	Angolo di attrito [°]	Coesion e [kN/m ²]	Coesion e non drenata [kN/m ²]	Modulo Elastico [kN/m ²]	Modulo Edometr ico [kN/m ²]	Descrizione
1.8	18.5	21.5	25.0	10.0	100.0	14000.0	10000.0	A
5.6	18.0	21.0	23.0	5.8	58.0	8120.0	4500.0	B
6.0	18.0	21.0	24.0	7.0	70.0	9800.0	5000.0	C
3.4	18.0	21.0	23.0	6.5	65.0	9100.0	5000.0	D
3.2	18.5	21.5	25.0	8.0	80.0	11200.0	6000.0	E

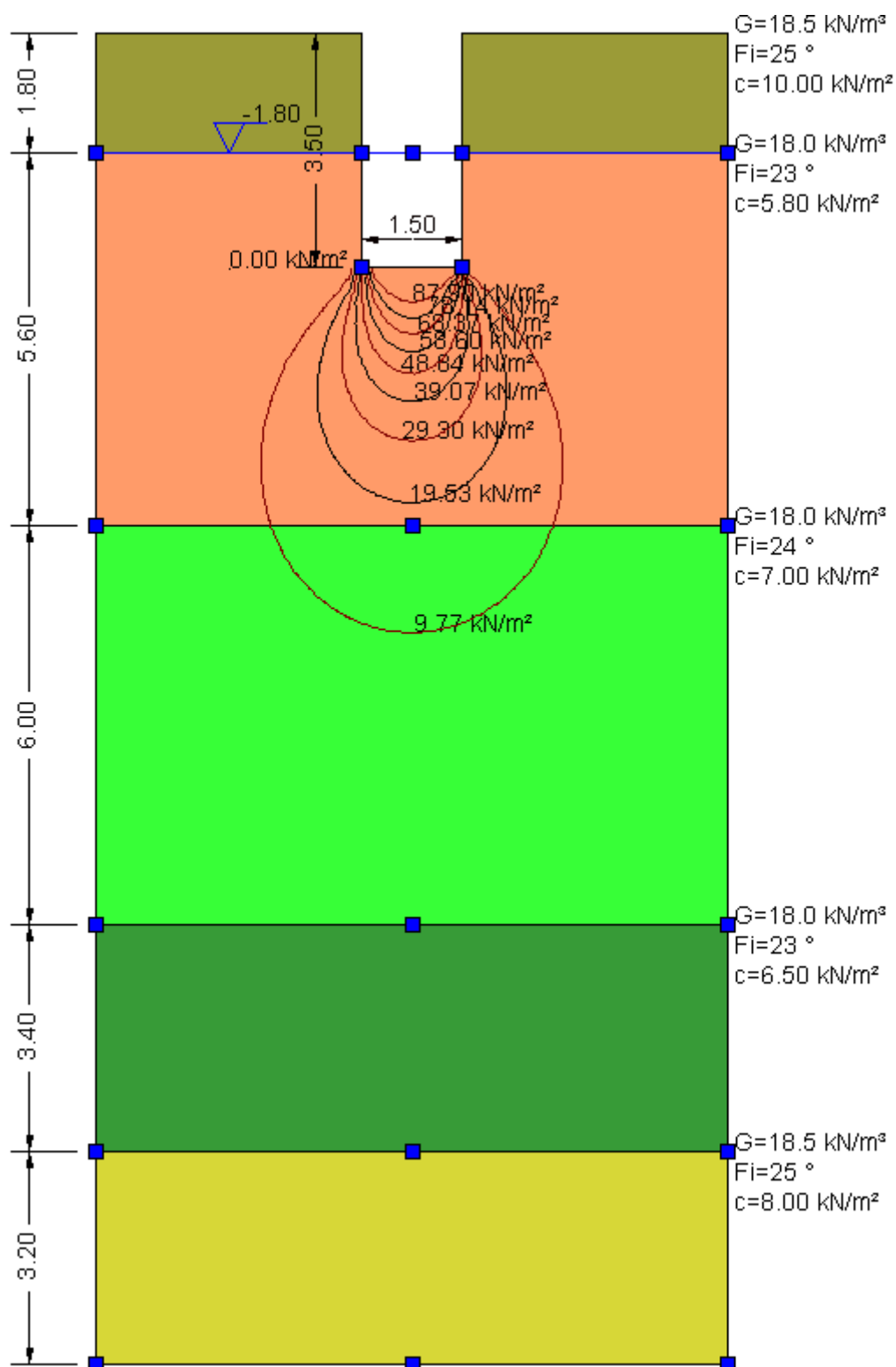
CEDIMENTI PER OGNI STRATO

***Cedimento edometrico calcolato con: Metodo consolidazione monodimensionale di Terzaghi**

Pressione normale di progetto	150.0 kN/m ²
Cedimento totale	2.365 cm

Z: Profondità media dello strato; Dp: Incremento di tensione; Wc: Cedimento consolidazione; Ws: Cedimento secondario; Wt: Cedimento totale.

Strato	Z (m)	Tensione (kN/m ²)	Dp (kN/m ²)	Metodo	Wc (cm)	Ws (cm)	Wt (cm)
2	5.45	74.154	17.629	Edometrico	1.5279	--	1.5279
3	10.4	129.56	5.077	Edometrico	0.6092	--	0.6092
4	15.1	182.167	2.23	Edometrico	0.1517	--	0.1517
5	18.4	219.904	1.43	Edometrico	0.0763	--	0.0763



Bulbo dei cedimenti

ALLEGATO 3

INDAGINI SISMICHE

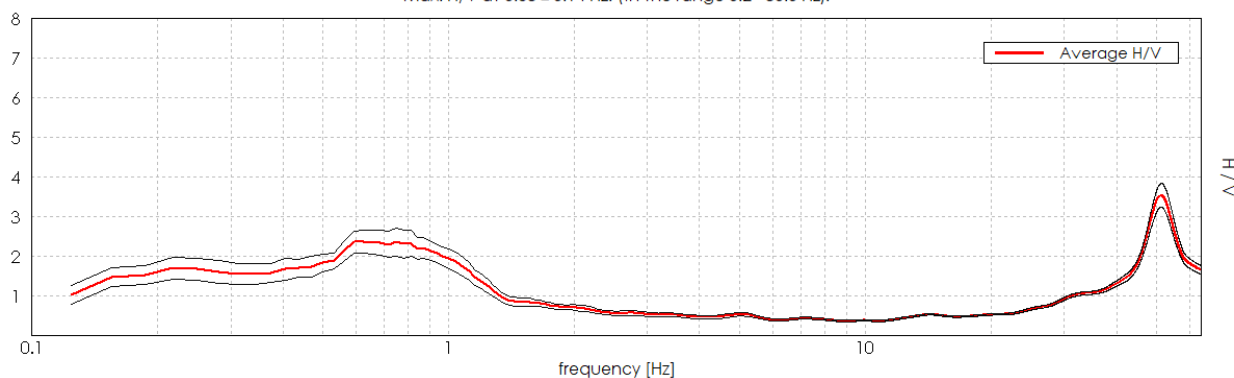
CARPI - VIA UNIONE SOVIETICA

Instrument: TZB-0123/01-20
Data format: 32 bit
Full scale [mV]: 179
Channel labels: NORTH SOUTH; EAST WEST ; UP DOWN
GPS data not available

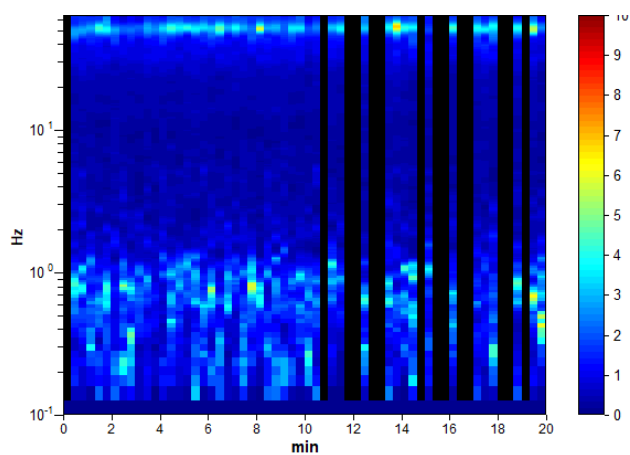
Trace length: 0h20'00". Analyzed 77% trace (manual window selection)
Sampling rate: 128 Hz
Window size: 20 s
Smoothing type: Triangular window
Smoothing: 10%

HORIZONTAL TO VERTICAL SPECTRAL RATIO

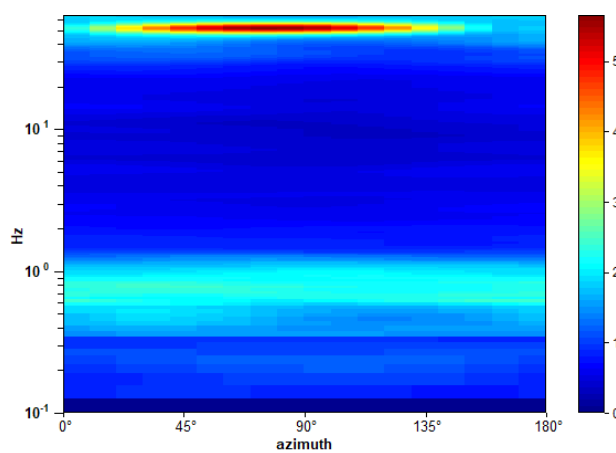
Max. H/V at 0.63 ± 0.14 Hz. (In the range 0.2 - 30.0 Hz).



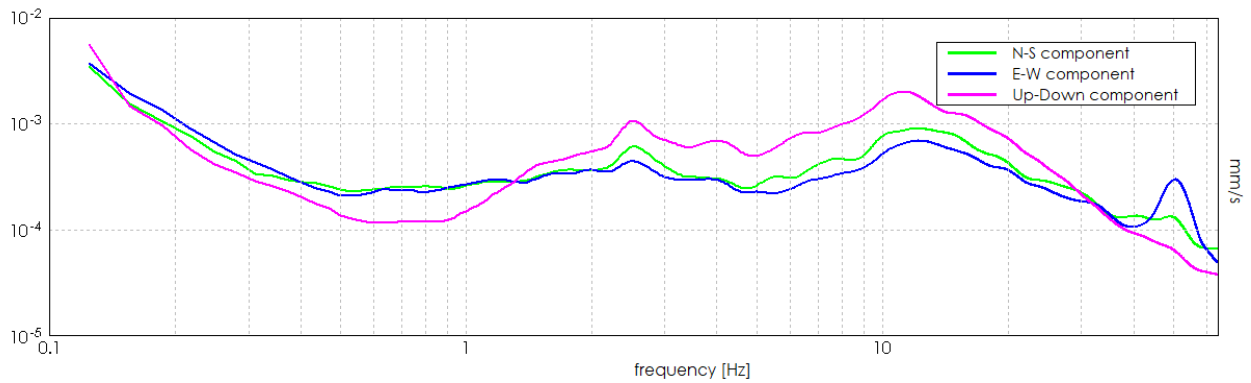
H/V TIME HISTORY



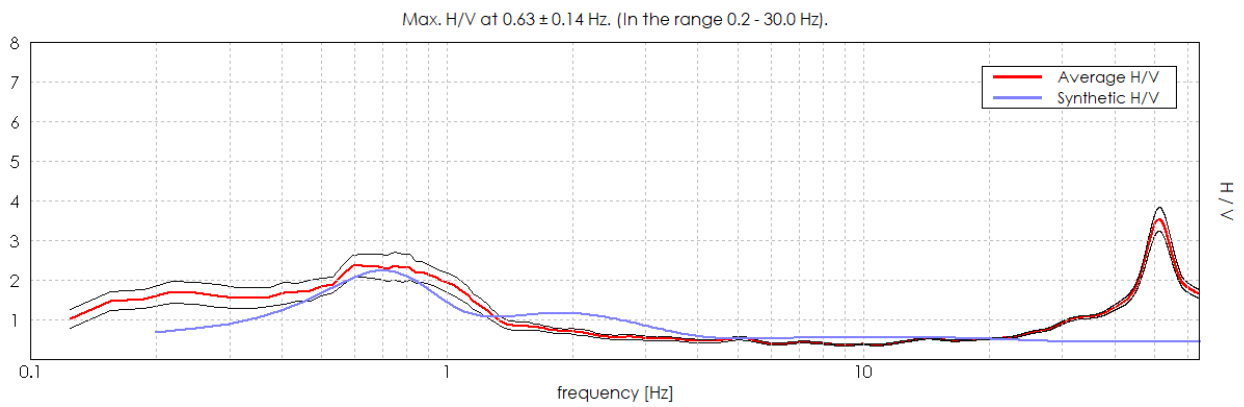
DIRECTIONAL H/V



SINGLE COMPONENT SPECTRA

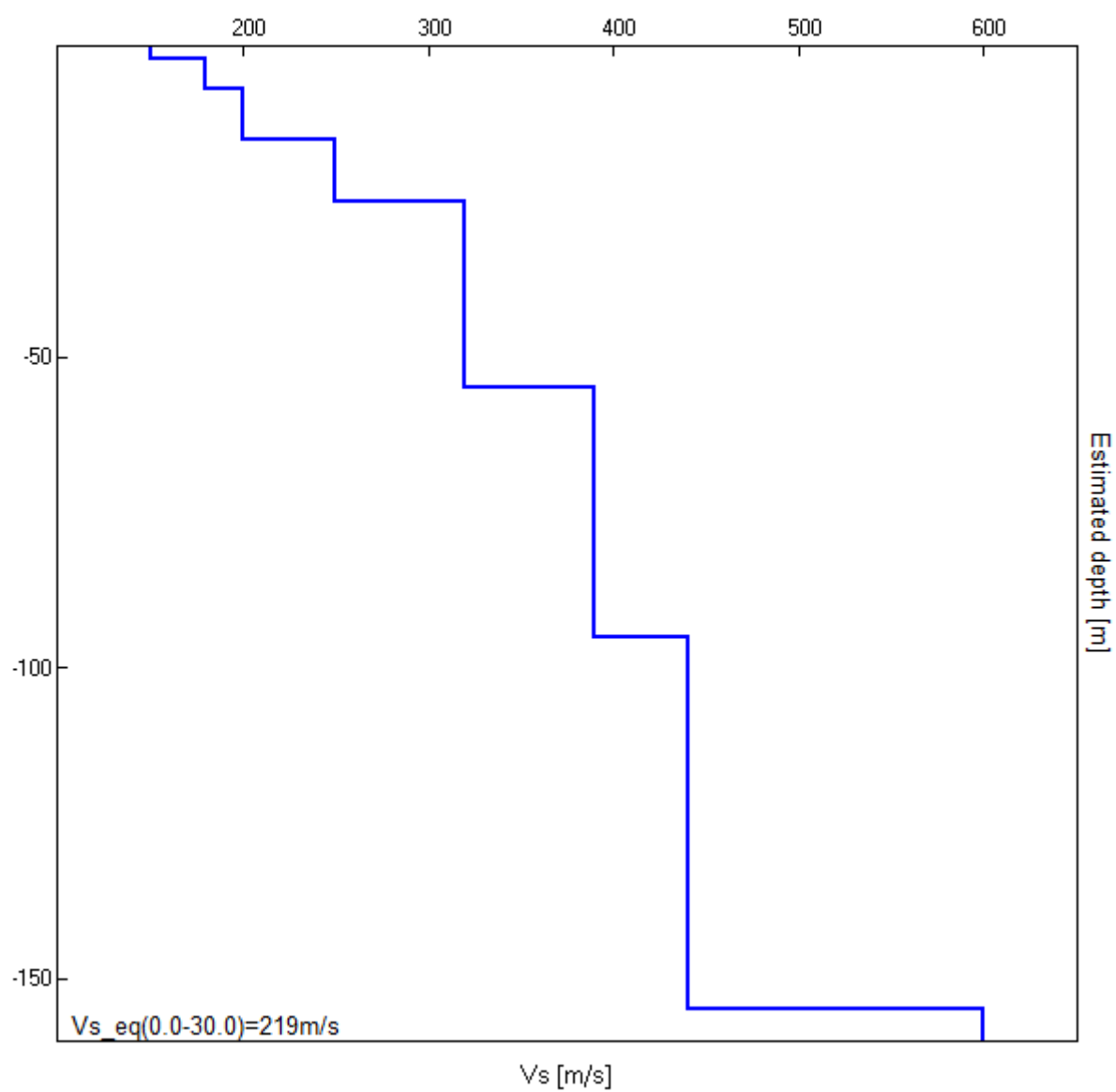


EXPERIMENTAL vs. SYNTHETIC H/V



Depth at the bottom of the layer [m]	Thickness [m]	Vs [m/s]	Poisson ratio
2.00	2.00	150	0.45
7.00	5.00	180	0.45
15.00	8.00	200	0.44
25.00	10.00	250	0.44
55.00	30.00	320	0.43
95.00	40.00	390	0.43
155.00	60.00	440	0.43
inf.	inf.	600	0.42

Vs_eq (0.0-30.0) = 219 m/s



[According to the SESAME, 2005 guidelines. **Please read carefully the *Grilla* manual before interpreting the following tables.**]

Max. H/V at 0.63 ± 0.14 Hz (in the range 0.2 - 30.0 Hz).

Criteria for a reliable H/V curve

[All 3 should be fulfilled]

$f_0 > 10 / L_w$	$0.63 > 0.50$	OK	
$n_c(f_0) > 200$	$575.0 > 200$	OK	
$\sigma_A(f) < 2$ for $0.5f_0 < f < 2f_0$ if $f_0 > 0.5\text{Hz}$ $\sigma_A(f) < 3$ for $0.5f_0 < f < 2f_0$ if $f_0 < 0.5\text{Hz}$	Exceeded 0 out of 31 times	OK	

Criteria for a clear H/V peak

[At least 5 out of 6 should be fulfilled]

Exists f^- in $[f_0/4, f_0]$ $A_{H/V}(f^-) < A_0 / 2$			NO
Exists f^+ in $[f_0, 4f_0]$ $A_{H/V}(f^+) < A_0 / 2$	1.281 Hz	OK	
$A_0 > 2$	$2.37 > 2$	OK	
$f_{\text{peak}}[A_{H/V}(f) \pm \sigma_A(f)] = f_0 \pm 5\%$	$ 0.21682 < 0.05$		NO
$\sigma_f < \varepsilon(f_0)$	$0.13551 < 0.09375$		NO
$\sigma_A(f_0) < \theta(f_0)$	$0.2909 < 2.0$	OK	

L_w	window length
n_w	number of windows used in the analysis
$n_c = L_w n_w f_0$	number of significant cycles
f	current frequency
f_0	H/V peak frequency
σ_f	standard deviation of H/V peak frequency
$\varepsilon(f_0)$	threshold value for the stability condition $\sigma_f < \varepsilon(f_0)$
A_0	H/V peak amplitude at frequency f_0
$A_{H/V}(f)$	H/V curve amplitude at frequency f
f^-	frequency between $f_0/4$ and f_0 for which $A_{H/V}(f^-) < A_0/2$
f^+	frequency between f_0 and $4f_0$ for which $A_{H/V}(f^+) < A_0/2$
$\sigma_A(f)$	standard deviation of $A_{H/V}(f)$, $\sigma_A(f)$ is the factor by which the mean $A_{H/V}(f)$ curve should be multiplied or divided
$\sigma_{\log H/V}(f)$	standard deviation of $\log A_{H/V}(f)$ curve
$\theta(f_0)$	threshold value for the stability condition $\sigma_A(f) < \theta(f_0)$

Threshold values for σ_f and $\sigma_A(f_0)$

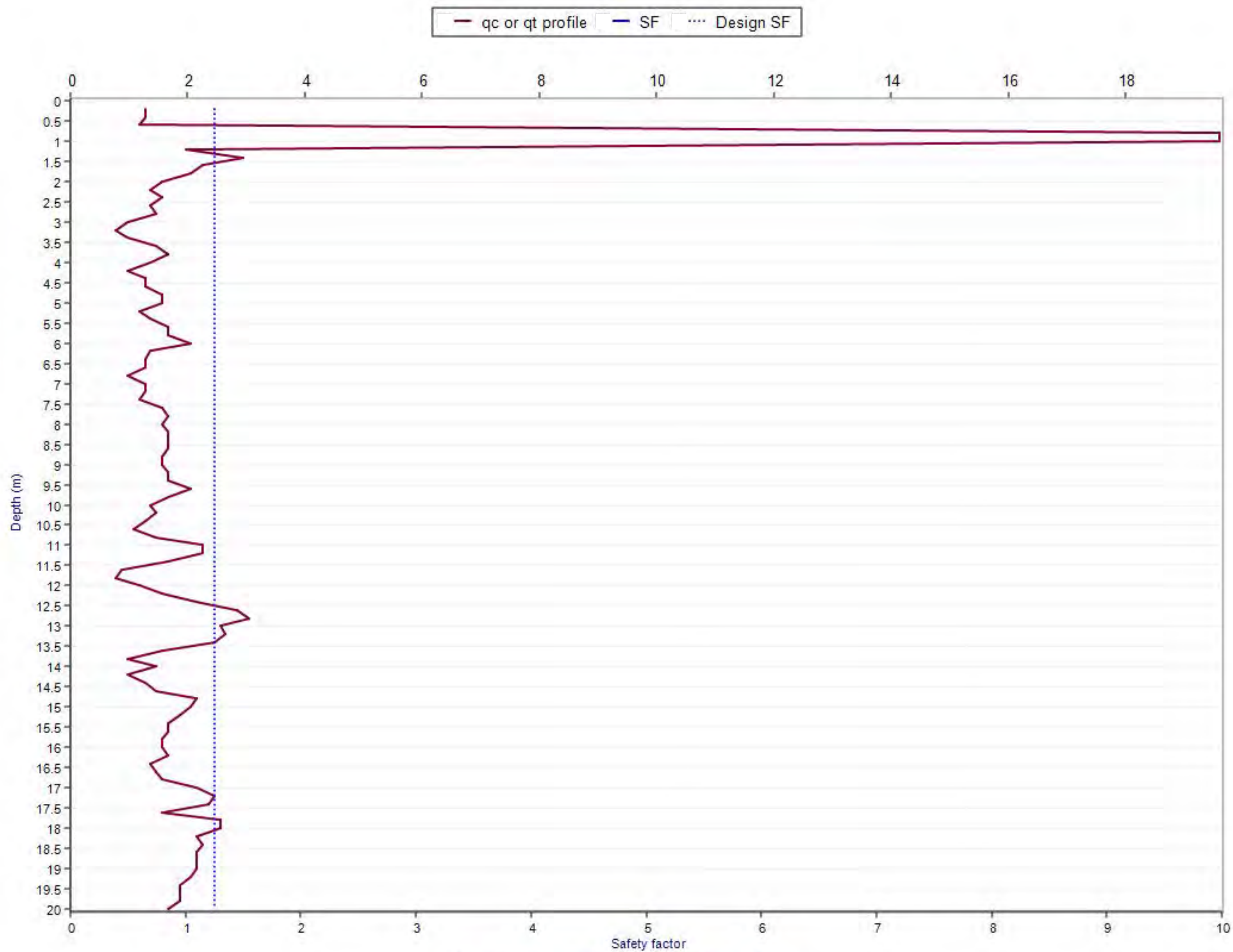
Freq. range [Hz]	< 0.2	0.2 – 0.5	0.5 – 1.0	1.0 – 2.0	> 2.0
$\varepsilon(f_0)$ [Hz]	$0.25 f_0$	$0.2 f_0$	$0.15 f_0$	$0.10 f_0$	$0.05 f_0$
$\theta(f_0)$ for $\sigma_A(f_0)$	3.0	2.5	2.0	1.78	1.58
$\log \theta(f_0)$ for $\sigma_{\log H/V}(f_0)$	0.48	0.40	0.30	0.25	0.20

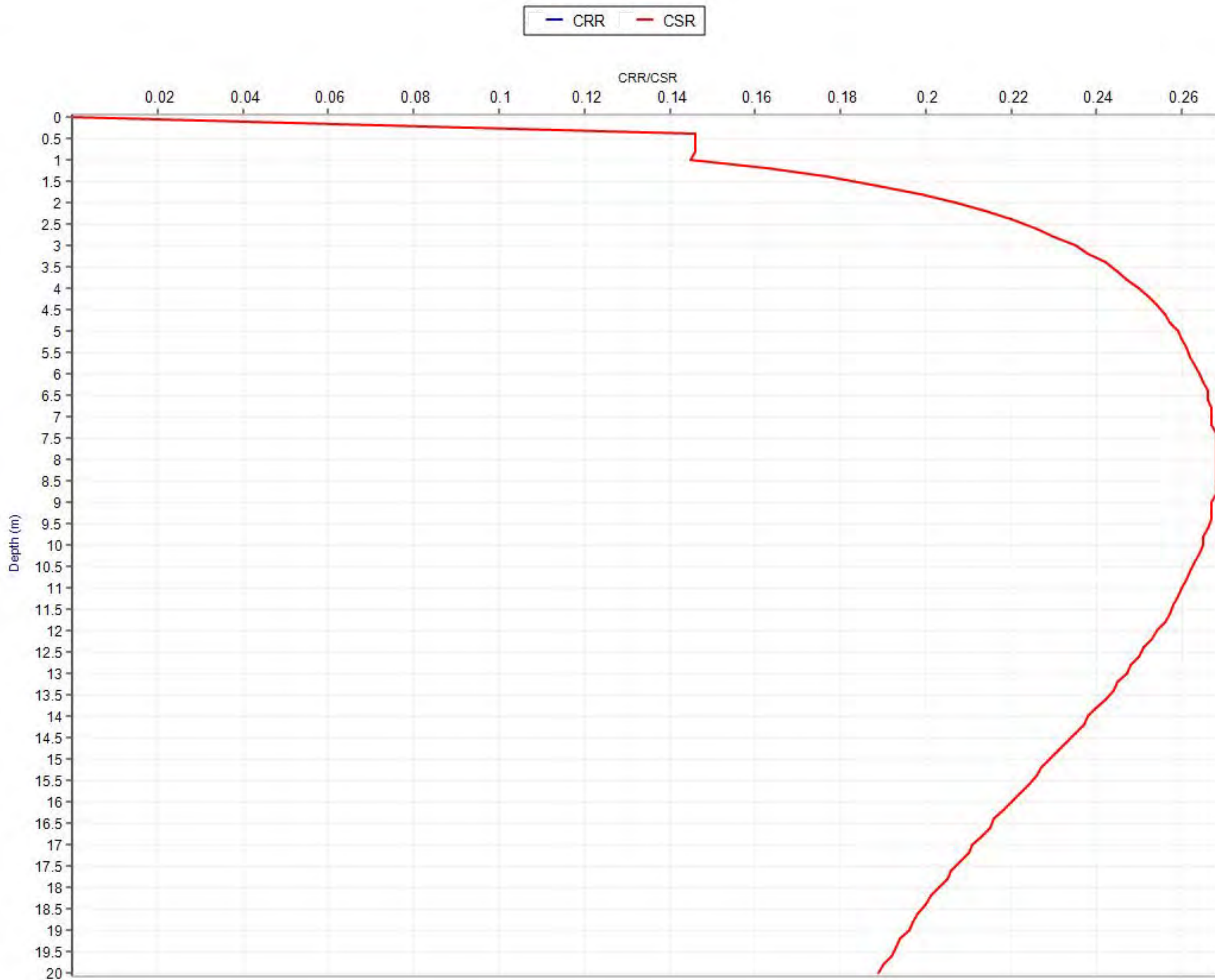
ALLEGATO 4

VERIFICA ALLA LIQUEFAZIONE

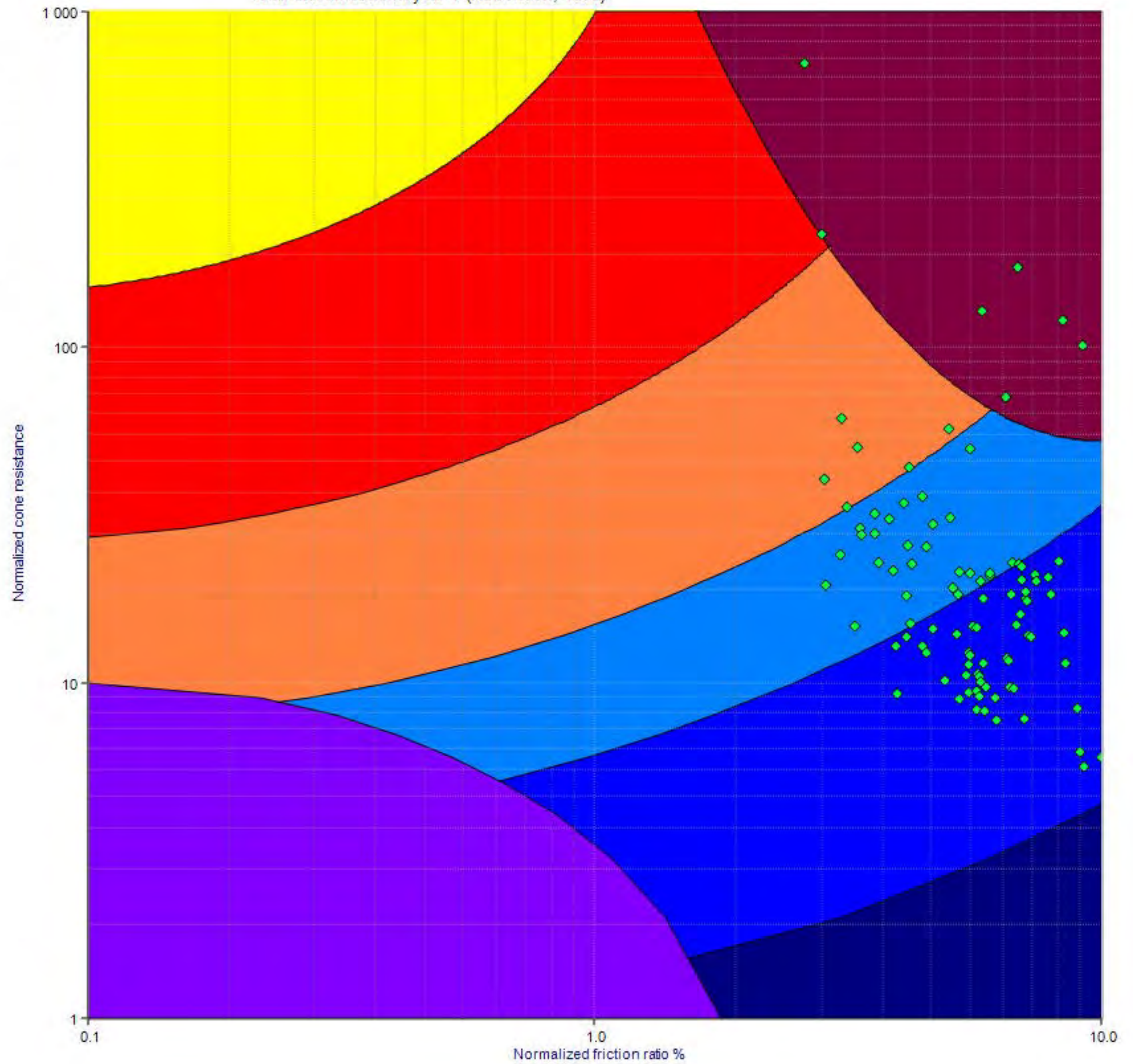
CPT1

VERIFICA ALLA LIQUEFAZIONE

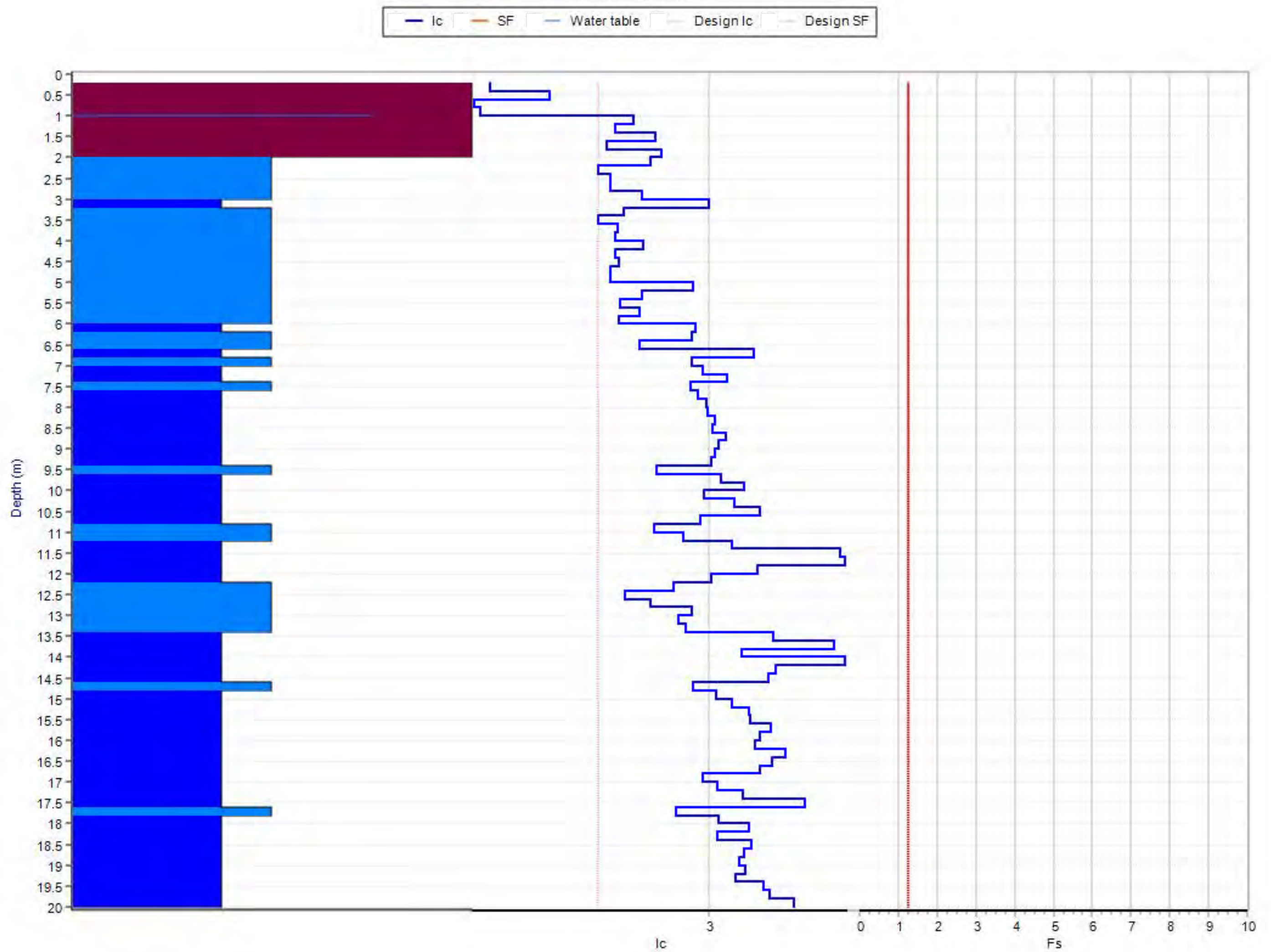




Soil classification by CPT (Robertson, 1990)

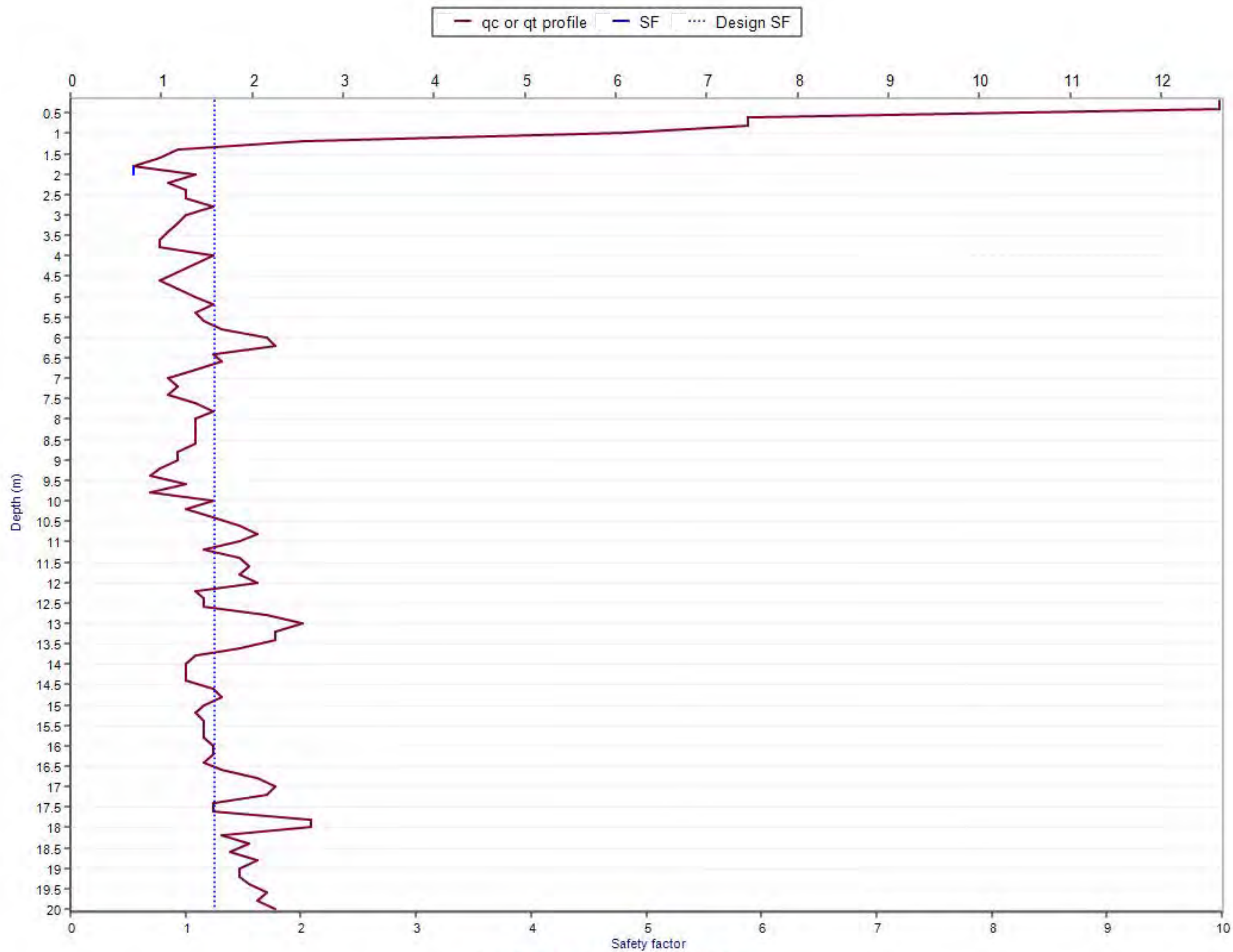


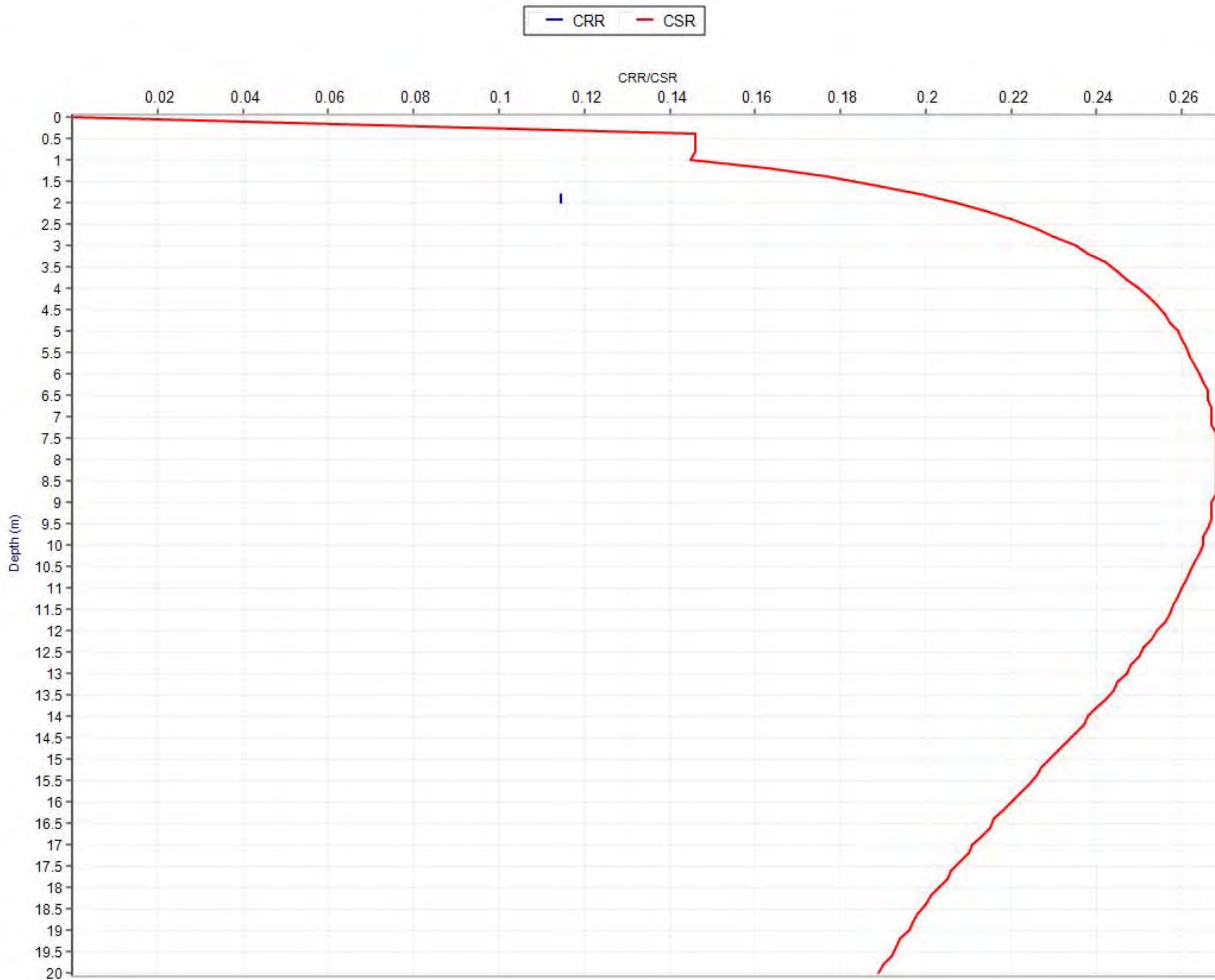
Ic and SF profile



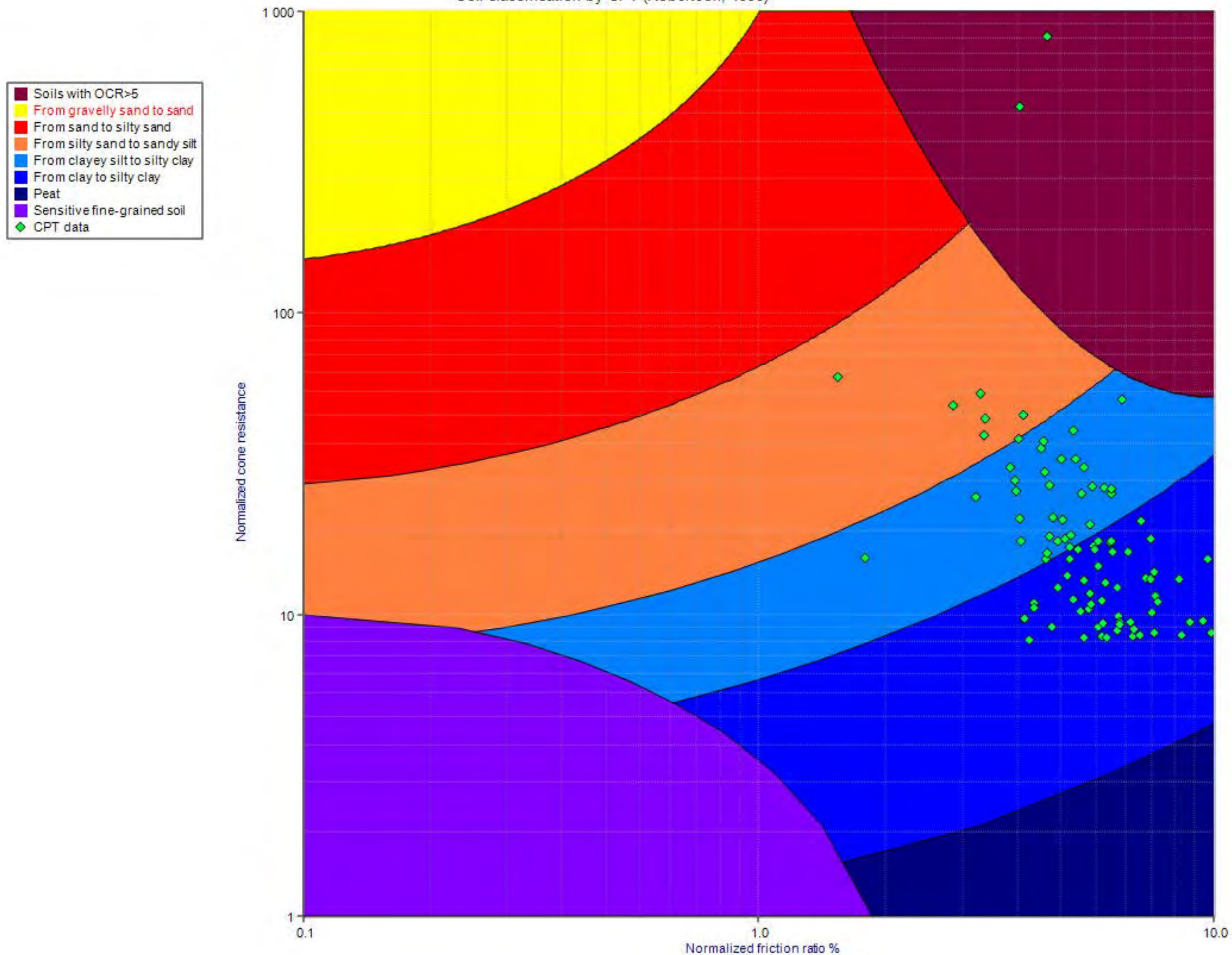
CPT2

VERIFICA ALLA LIQUEFAZIONE





Soil classification by CPT (Robertson, 1990)



Ic and SF profile

